

Έλεγχος διπλού ολοκληρωτή υπό¹
την επίδραση της βαρύτητας σε μη
ομαλό έδαφος

Τυπολογιστικό Θέμα 2022

Εθνικό Μετσόβιο Πολυτεχνείο
Σχολή Μηχανολόγων Μηχανικών



Όνοματεπώνυμο: Παπαδάκης Μιχαήλ

Αριθμός Μητρώου: 02118026

Ακαδημαϊκό έτος: 4^ο

Ημερομηνία: 25/7/22

Επιβλέπων Καθηγητής: Κ. Κυριακόπουλος

Περιεχόμενα

Περιεχόμενα	1
Κατάλογος Σχημάτων	2
1 Εισαγωγή	3
2 Abstract	3
3 Μέθοδοι Πλοήγησης	4
3.1 Πλοήγηση σε 2 διαστάσεις με χρήση συναρτήσεων πλοήγησης	4
3.2 Πλοήγηση σε 2 διαστάσεις με χρήση αφμονικών πεδίων	6
4 Δυναμική	7
4.1 Μονοδιάστατο Πρόβλημα με Σταθερή Κλίση	7
4.2 Μονοδιάστατο Πρόβλημα με Μεταβλητή Κλίση	8
4.2.1 Άλλαγή Μεταβλητών	8
4.2.2 Μέθοδος Newton	8
4.3 Δισδιάστατο Πρόβλημα με μεταβλητή κλίση	10
4.3.1 Μέθοδος Lagrange - Πρώτη μέθοδος για Κινητική και Δυναμική ενέργεια	10
4.3.2 Μέθοδος Lagrange - Δεύτερη μέθοδος για Κινητική και Δυναμική ενέργεια	10
4.3.3 Μέθοδος Lagrange - Παραγώγιση Lagrangian	11
4.3.4 Μέθοδος Newton	12
4.4 Προσομοίωση Δυναμικού Συστήματος	13
5 Έλεγχος Δυναμικού Συστήματος	14
5.1 Σχεδιασμός Ελεγκτή	14
5.2 Προσομοίωση Ελεγκτή	15
5.3 Κόστος Ελεγκτή	16
5.3.1 Επιλογή Αρχικών Σημείων	17
5.3.2 Υπολογισμός Κόστους	18
6 Αναφορές	21
7 Προγράμματα Matlab	22
7.1 Navigation Functions	22
7.1.1 NavigationFunctionSimulation.m	22
7.1.2 navigationFUN.m	22
7.1.3 reach.target.m	22
7.1.4 Κώδικες	22
7.2 Δυναμική Προσομοίωση	26
7.2.1 gravitySimulation.m	26
7.2.2 gravity2D.m	26
7.2.3 Κώδικες	26
7.3 Ελεγκτής	29
7.3.1 ControllerCostCalc.m	29
7.3.2 potentialFIELD.m	29
7.3.3 reach_targetFULL.m	29
7.3.4 controller.m	29
7.3.5 distance.m	29
7.3.6 DOE.m	30
7.3.7 small_gaps.m	30
7.3.8 big_gaps.m	31
7.3.9 Κώδικες	32

Κατάλογος Σχημάτων

1	Navigation Function σε δίσκο με σημειακά εμπόδια	4
2	Έλεγχος απλού ολοκληρωτή με χρήση navigation function	5
3	Μονοδιάστατη περίπτωση με σταθερή κλίση	7
4	Μονοδιάστατη περίπτωση με μεταβλητή κλίση	8
5	Μονοδιάστατη περίπτωση με μεταβλητή κλίση - Μέθοδος Newton	9
6	Προσομοίωση Δυναμικού Συστήματος	13
7	Bumping function	14
8	Τροχιά ελεγμένου συστήματος	15
9	Τροχιά ελεγμένου συστήματος πάνω στην επιφάνεια του εδάφους	15
10	Διανυσματικό πεδίο ελεγκτή. Τομή για $U_{y0} = 0m/s$	16
11	Διανυσματικό πεδίο ελεγκτή. Τομή για $U_{x0} = 0m/s$	16
12	Συνοπτικό λογικό Διάγραμμα προγράμματος επιλογής αρχικών σημείων	17
13	Αρχικά σημεία που επιλέγονται από το πρόγραμμα <i>DOE.m</i>	17
14	Τροχιές σημείων που επιλέγονται από το πρόγραμμα <i>DOE.m</i>	18
15	Επιφάνεια κόστους επενεργητή με αντιστάθμιση βαρύτητας, με αρχικές συνθήκες ταχύτητας $u_{x0} = u_{y0} = -0.5m/s$	18
16	Ισοσταθμικές γραμμές κόστους επενεργητή με αντιστάθμιση βαρύτητας, με αρχικές συνθήκες ταχύτητας $u_{x0} = u_{y0} = -0.5m/s$	19
17	Επιφάνεια εδάφους στον χώρο εργασίας	19
18	Επιφάνεια κόστους επενεργητή χωρίς αντιστάθμιση βαρύτητας, με αρχικές συνθήκες ταχύτητας $u_{x0} = u_{y0} = -0.5m/s$	20
19	Ισοσταθμικές γραμμές κόστους επενεργητή χωρίς αντιστάθμιση βαρύτητας, με αρχικές συνθήκες ταχύτητας $u_{x0} = u_{y0} = -0.5m/s$	20
20	Λογικό διάγραμμα συνάρτησης <i>distance.m</i>	30
21	Παράδειγμα υπολογισμού απόστασης από όρια χωρίου.	30
22	Λογικό διάγραμμα του προγράμματος <i>DOE.m</i>	30
23	Τρόπος εκφυλισμού σημείων από την συνάρτηση <i>small_gaps.m</i>	31

1. Εισαγωγή

Αντικείμενο του υπολογιστικού θέματος ήταν ο έλεγχος ενός δισδιάστατου διπλού ελεγκτή, ο οποίος κινείται υπό την επήρεια ενός συντηρητικού πεδίου, και συγκεκριμένα της βαρύτητας, ώστε να φτάσει στο επιθυμητό σημείο του χώρου εργασίας. Εισαγωγικό στάδιο αποτέλεσε η δημιουργία απλών navigation functions με σκοπό την εξοικείωση με το motion planning πρόβλημα. Στη συνέχεια ακολούθησε η μοντελοποίηση της δυναμικής, η οποία έγινε με διάφορες μεθοδολογίες. Υπερα, υιοθετήθηκε ένας ελεγκτής που χρησιμοποιεί τεχνητά αρμονικά πεδία (Artificial Harmonic Potential Fields) για να οδηγήσει το σύστημα στον προορισμό. Τελικό στάδιο αποτέλεσε η διερεύνηση του κόστους του ελεγκτή αυτού.

Στην παρούσα έκθεση, αφού παρουσιασθούν συνοπτικά η εισαγωγική δουλειά στα navigation functions και μερικές πληροφορίες σχετικά με την δημιουργία των αρμονικών πεδίων, παρουσιάζεται αναλυτικά η δυναμική του συστήματος. Υπερα, παρουσιάζεται ο ελεγκτής, διάφορες προσομοιώσεις και παρατηρήσεις σχετικά με το κόστος του, σε έναν απλό χώρο. Στο παρότρημα περιέχονται όλοι οι ακόδικες μαζί με σχετικές τεχνικές πληροφορίες.

2. Abstract

The scope of this computation project was the motion planning of a two-dimensional double intergrator which moves under the influence of a conservative field, and specifically the gravitational potential field. The first part of the project included the creation of navigation functions in simple circular spaces. The next step was the modelling of the relevant dynamics, using different techniques. Having modelled the external dynamics, a controller was designed, using Artificial Harmonic Potential Fields (AHPF) in order to drive the system to the desired destination. The final part of the project included the investigation of the controller cost. In this report, the work concerning the navigation functions will be summarized, and some details about the creation of AHPFs will be discussed as they are later used on the controller. Subsequently, the dynamics modelling will be presented in detail. Finally, the controller design will be outlined together with remarks about its cost. The programmes that were used through the project are presented with greater detail in the relevant annex.

3. Μέθοδοι Πλοήγησης

Τηράχουν διάφορες μεθοδολογίες για το motion planning των ρομποτικών συστημάτων. Τηράχουν δύο κύριες κατηγορίες προσέγγισης του προβλήματος: οι δειγματοληπτικές μέθοδοι (πχ RRTs, MPC) και η δημιουργία κατάλληλων πεδίων πλοήγησης (navigation functions, Harmonic Potential Fields) [3]. Στο παρόν υπολογιστικό θέμα χρησιμοποιήθηκε η δεύτερη κατηγορία μεθόδων **η οποία είναι αναδραστική**. Στη συνέχεια θα παρουσιαστεί συνοπτικά η μέθοδος των navigation functions, και συγκεκριμένα ο έλεγχος ενός απλού ολοκληρωτή σε έναν κύκλο με εμπόδια, αφού αποτέλεσε το εισαγωγικό κομμάτι του υπολογιστικού θέματος. Υπότιμα, θα παρουσιασθεί συνοπτικά η μέθοδος κατασκευής τεχνητών αρμονικών πεδίων αφού χρησιμοποιήθηκαν στον τελικό ελεγκτή.

3.1 Πλοήγηση σε 2 διαστάσεις με χρήση συναρτήσεων πλοήγησης

Το εισαγωγικό κομμάτι του υπολογιστικού θέματος ήταν η υλοποίηση ενός ελεγκτή που θα οδηγεί έναν απλό ολοκληρωτή στον προορισμό μέσα σε ένα κυκλικό workspace με σημειακά εμπόδια.

Το πρώτο βήμα σε αυτή την προσέγγιση, σύμφωνα με το paper [1], είναι να χρησιμοποιηθεί το navigation transformation ώστε να μετασχηματιστεί ένα workspace W σε ένα point-world P^n . Στον σημειακό κόσμο, τα εμπόδια του χώρου εργασίας (W) μετασχηματίζονται σε σημεία. Ωστόσο, αυτό το βήμα παραλήφθηκε, καθώς ο έλεγχος έπρεπε εξαρχής να γίνει σε κυκλικό δίσκο¹. Υπότιμα, πρέπει να βρεθεί το αρμονικό navigation function. Ωστόσο, αυτό είναι αδύνατο, από συνέπεια της αρχής του μεγίστου (και ελαχίστου). Έτσι, πρέπει να γίνει μετασχηματισμός σε έναν χώρο που μπορεί να δημιουργηθεί μια αρμονική συνάρτηση με ιδιότητες των συναρτήσεων πλοήγησης. Ο χώρος αυτός λέγεται harmonic domain. Αυτό γίνεται με τον εξής μετασχηματισμό (Γίνεται η θεώρηση πως ο harmonic domain είναι άπειρος, και δημιουργείται ένας μετασχηματισμός c που τον απεικονίζει πάνω σε μια σφαίρα διαμέτρου ρ . Ο αντίστροφος του c κάνει τον επιθυμητό μετασχηματισμό, από ένα sphere point world στον harmonic domain.):

$$c^{-1}(x) = \frac{x}{\rho - \|x\|} \quad (1)$$

Έτσι, κάθε μεταβλητή θέσης x από τον 2D point-world μετασχηματίζεται μέσω του μετασχηματισμού στην h . Το ίδιο πρέπει να γίνει και για κάθε σημειακό εμπόδιο αλλά και τον προορισμό ($p_i \rightarrow h_i$). Πρέπει να τονιστεί πως ο μετασχηματισμός αυτός είναι διαφορομορφισμός, και συνεπώς τόσο αυτός όσο και ο αντίστροφος ($c(p)$) είναι διαφορίσματοι. Στην συνέχεια, στον harmonic domain, χρησιμοποιούνται πηγές στα εμπόδια ώστε να απωθήσουν το ελεγχόμενο σύστημα και καταβόθρα στον προορισμό, που δίνονται από τον τύπο:

$$\varphi_i = a_i \ln (\|h - h_i\|) \quad (2)$$

Υπότιμα, επιλέγονται τα κέρδη των πηγών/καταβοθρών δυναμικού. Πρέπει να ισχύει η συνθήκη:

$$\lim_{\|h\| \rightarrow \infty} \phi(h) = +\infty$$

Η οποία ικανοποιείται όταν επιλεχθούν τα παρακάτω κέρδη (ικανή συνθήκη):

$$\alpha_d = K > M + 1$$

$$a_i = -1$$

Υπότιμα, γίνονται δύο ακόμα μετασχηματισμοί:

$$\sigma(x) \triangleq \frac{e^x}{1 + e^x} \quad (3)$$

¹Η εύρεση του κατάλληλου navigation transformation είναι εν γένει δύσκολη, για αυτό και προτιμάται η προσέγγιση των τεχνητών αρμονικών πεδίων.

Όπου προβάλει τον αρμονικό χώρο σε έναν δίσκο με ακτίνα 1 (μάλιστα, προβάλει και το $\pm\infty$ στο 0,1 αντίστοιχα). Και τέλος:

$$\sigma_d \triangleq x^{2/k} \quad (4)$$

Έτσι, με όλους αυτούς τους μετασχηματισμούς (σχέσεις 1,2,3,4,), μπορεί να δημιουργηθεί το navigation function το οποίο δίνεται από την σχέση 5.

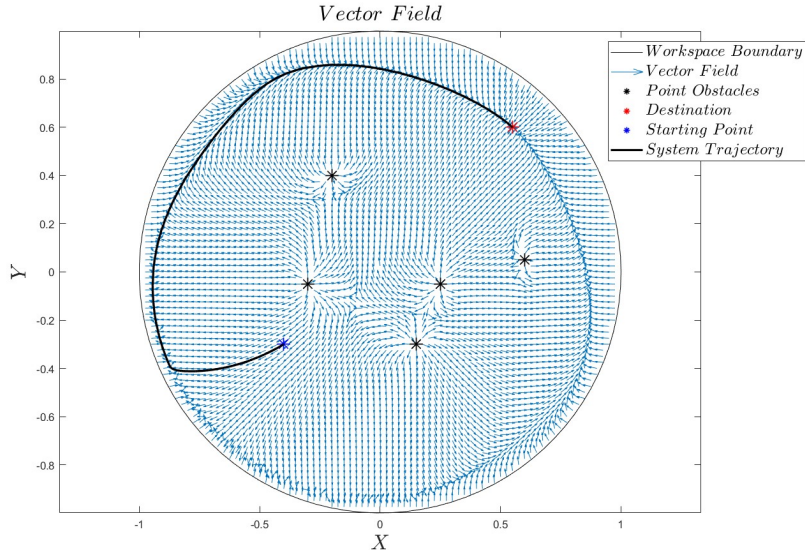
$$\Theta(\cdot) = [\sigma_d \circ \sigma \circ \varphi \circ c^{-1}](\cdot) \quad (5)$$

Η συνάρτηση αυτή δέχεται σημεία από τον 2D point-world (δηλαδή μετά το navigation transformation) και δίνει το δυναμικό στο σημείο αυτό. Για έλεγχο ενός συστήματος μονού ολοκληρωτή, χρησιμοποιούνται οι σχέσεις:

$$\dot{x} = u \quad (6)$$

$$\dot{x} = u = -\nabla\Theta = -[\frac{\partial\Theta}{\partial x_1}, \frac{\partial\Theta}{\partial x_2}] \quad (7)$$

Στο σχήμα 1 παρουσιάζεται το navigation function που προκύπτει από την παραπάνω ανάλυση και στο σχήμα 2 φαίνεται η τροχιά ενός απλού ολοκληρωτή που ελέγχεται βάσει του παραπάνω navigation function.



Σχήμα 2: Έλεγχος απλού ολοκληρωτή με χρήση navigation function

3.2 Πλοήγηση σε 2 διαστάσεις με χρήση αρμονικών πεδίων

Στη μέθοδο των αρμονικών πεδίων δημιουργείται ένα πεδίο Φ στο W , η τιμή του οποίου δίνεται σε κάθε θέση από την συνεισφορά όλων των πηγών του χώρου. Αν οι πηγές του πεδίου θεωρηθούν σαν συναρτήσεις βάσης u_i (στην περίπτωση σημειωκών πηγών² $u_i = \ln(\|p - p_i\|)$), τότε το πεδίο σε κάθε θέση παράγεται από τον γραμμικό συνδυασμό των u_i (αρμονικών όρων).

$$\Phi(p; p_c) = w^T v(p; p_c) \quad (8)$$

με $p_c \triangleq [p_0^T, p_1^T, \dots, p_K^T]$ τα κέντρα των πηγών και $w \triangleq [w_0, w_1, \dots, w_k]$ τα σχετικά βάρη, και έτσι $v(p; p_c) = [v_0(p, p_0), v_1(p, p_1), \dots, v_K(p, p_K)]^T$.

Απαίτηση ενός τέτοιου πεδίου είναι να είναι ασφαλές, και στα όρια του workspace η επιθυμητή ταχύτητα να δείχνει στο εσωτερικό του³. Σύμφωνα με το [3], υπάρχει ένας ακέραιος N_0 τέτοιος ώστε, αν το πεδίο δείχνει στο εσωτερικό σε $N > N_0$ ισαπέχοντα σημεία p_j στα όρια του χώρου εργασίας ($p_j \in \partial W$, $\forall j = 1, 2, \dots, N$), δηλαδή αν ισχύει⁴:

$$n^T(p_j)u(p_j) \geq 0, \quad \forall j = 1, 2, \dots, N > N_0 \quad (9)$$

τότε, το πεδίο ταχυτήτων δείχνει στα εσωτερικά του workspace σε κάθε σημείο του ορίου ∂W . Επιπλέον, η ταχύτητα σε κάθε σημείο δίνεται από τον τύπο:

$$u(p) = -\underbrace{\|p - p_o\|^2}_{T_0} \nabla \Phi = -\|p - p_o\|^2 \nabla v(p; p_c) w \quad (10)$$

όπου ο όρος T_0 αφερεί την μοναδικότητα (singularity) από τον προορισμό⁵. Από τις σχέσεις 9 και 10 προκύπτει ένα σετ N περιορισμών που πρέπει να ικανοποιηθούν. Επιπλέον, πρέπει ο προορισμός να είναι ελκυστικός, άρα $w_0 > 0$. Συνολικά οι $N + 1$ περιορισμοί γράφονται ως:

$$A_{N+1}^T w < \mathbf{0}_{(N+1) \times 1} \quad (11)$$

Για να βρεθεί ένα σετ w που ικανοποιεί τους παραπάνω περιορισμούς λύνεται ένα τετραγωνικό πρόβλημα βελτιστοποίησης με περιορισμούς:

$$\min \|w\|^2$$

$$\text{s.t. } A_{N+1}^T w < \mathbf{0}_{(N+1) \times 1}$$

Στην πράξη ο αριθμός των περιορισμών αποτελεί input στο πρόγραμμα των αρμονικών πεδίων. Έχοντας τα βάρη, έχει βρεθεί το αρμονικό πεδίο ταχυτήτων που χρησιμοποιείται στον τελικό ελεγκτή.

²Το πρόγραμμα των αρμονικών πεδίων χρησιμοποιεί γραμμικές αρμονικές πηγές, αφού πλαισιώνει τον χώρο με panel.

³Με τον κατάλληλο ελεγκτή, όπως αυτός που χρησιμοποιήθηκε τελικά (σχέση 60), η απαίτηση για την κατεύθυνση του πεδίου είναι επαρκής για να εγγυηθεί την ασφάλεια του ελεγκτή.

⁴Γίνεται η παραδοχή πως το κάθετο διάνυσμα δείχνει στο εσωτερικό του χωρίου.

⁵Σε σημειωσή πηγή ισχύει:

$$\frac{\partial v_d}{\partial p_d} = \frac{p - p_d}{\|p - p_d\|^2}$$

Οπότε πολλαπλασιάζοντας με $\|p - p_o\|^2$ αφαιρείται ο όρος από τον παρανομαστή ο οποίος μηδενίζεται όταν το σύστημα φτάσει στον προορισμό.

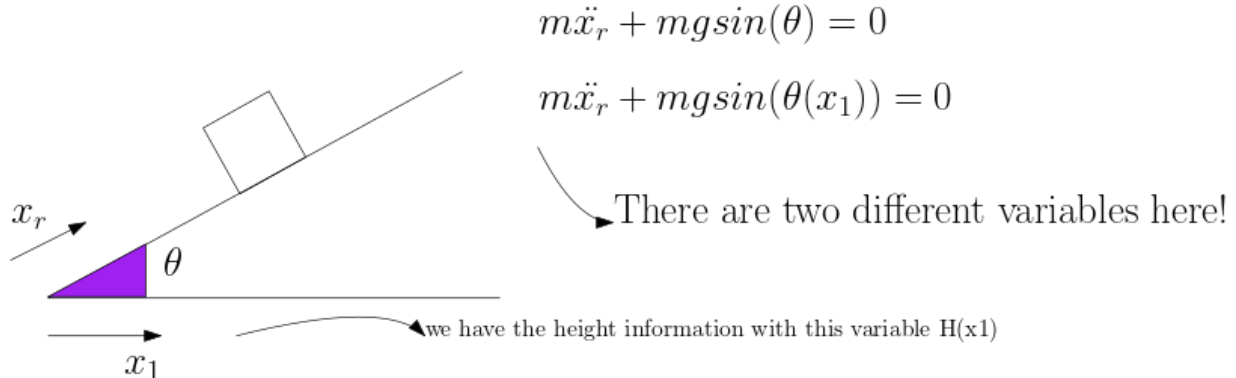
4. Δυναμική

4.1 Μονοδιάστατο Πρόβλημα με Σταθερή Κλίση

Αρχικά παρατίθενται οι εξισώσεις για το μονοδιάστατο πρόβλημα, με σταθερή κλίση :

$$m\ddot{x}_r = -mg\sin(\theta) \quad (12)$$

Παρατηρείται πως η εξισωση γράφεται ως προς την καμπυλόγραμμη συντεταγμένη x_r . Συνεπώς, η μετατόπιση Δx_r είναι διαφορετική ως προς την μετατόπιση στον οριζόντιο όξονα Δx_1 . Έτσι, πρέπει από την Δx_r να υπολογίζεται η Δx_1 ώστε να βρίσκεται σωστά το σημείο ως προς τον όξονα x_1 και να λαμβάνεται η πληροφορία του ύψους. Αυτό παρατηρείται και από το σχήμα 3:



Σχήμα 3: Μονοδιάστατη περίπτωση με σταθερή κλίση

Ισχύει:

$$x_1 = x_r \cos(\theta) \quad (13)$$

Άρα:

$$m \frac{1}{\cos(\theta)} \ddot{x}_1 + mg\sin(\theta) = 0 \quad (14)$$

$$m\ddot{x}_1 + mg\sin(\theta)\cos(\theta) = 0 \quad (15)$$

Η μέθοδο lagrange καταλήγει σε παρόμοια αποτελέσματα. Έχουμε:

$$T = \frac{1}{2}m\dot{x}_r^2 = \frac{1}{2}m\frac{\dot{x}_1^2}{\cos(\theta)^2} = T(\dot{x}_1) \quad (16)$$

$$V = mg(\tan(\theta)x_1) + V_0 = V(x_1) \quad (17)$$

Η μεταβλητή Lagrange είναι:

$$L = T - V \quad (18)$$

Η εξισωση Lagrange γράφεται:

$$\frac{\partial}{\partial t} \left(\frac{\partial L}{\partial \dot{x}_1} \right) - \frac{\partial L}{\partial x_1} = 0 \quad (19)$$

Οπότε προκύπτει:

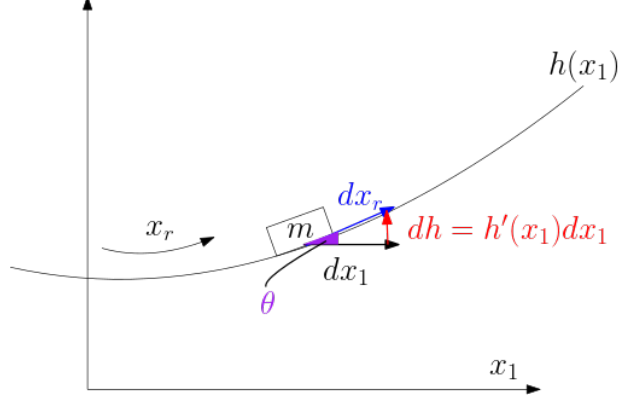
$$\begin{aligned} \frac{\partial}{\partial t} \left(\frac{\partial T(\dot{x}_1)}{\partial \dot{x}_1} \right) + \frac{\partial V(x_1)}{\partial x_1} &= 0 \\ m \frac{\ddot{x}_1}{\cos^2(\theta)} + mg\tan(\theta) &= 0 \end{aligned} \quad (20)$$

Οπότε προκύπτει ξανά η σχέση 15.

4.2 Μονοδιάστατο Πρόβλημα με Μεταβλητή Κλίση

4.2.1 Αλλαγή Μεταβλητών

Τοπερα, έστω ότι έχουμε μεταβλητή κλίση, όπως φαίνεται στο σχήμα 4:



Σχήμα 4: Μονοδιάστατη περίπτωση με μεταβλητή κλίση

Αρχικά μπορούν να υπολογιστούν μερικά χρήσιμα μεγέθη:

$$\sin(\theta) = \frac{dh}{dx_r} = \frac{h'(x_1)dx_1}{\sqrt{dx_1^2 + h'(x_1)^2dx_1^2}} = \frac{h'(x_1)}{\sqrt{1 + h'(x_1)^2}} \quad (21)$$

$$\cos(\theta(x_1)) = \frac{1}{\sqrt{1 + h'(x_1)^2}} \quad (22)$$

Η δυναμική δίνεται από την παρακάτω σχέση. Σε αντιστοιχία με την περίπτωση της σταθερής κλίσης, το x_r είναι η καμπυλόγραμμη συντεταγμένη.

$$m\ddot{x}_r = -mg\sin(\theta(x_1)) \quad (23)$$

Κάνοντας αλλαγή συντεταγμένων προκύπτει:

$$dx_1 = \cos(\theta(x_1))dx_r \xrightarrow{22}$$

$$dx_r = \sqrt{1 + h'(x_1)^2}dx_1 \quad (24)$$

Άρα

$$\frac{dx_r}{dt} = \sqrt{1 + h'(x_1)^2}\frac{dx_1}{dt}$$

$$\frac{d^2x_r}{dt^2} = \sqrt{1 + h'(x_1)^2}\frac{d^2x_1}{dt^2} + \frac{dx_1}{dt} \frac{2h'(x_1)h''(x_1)}{2\sqrt{1 + h'(x_1)^2}} \frac{dx_1}{dt}$$

$$\frac{d^2x_r}{dt^2} = \sqrt{1 + h'(x_1)^2}\frac{d^2x_1}{dt^2} + \frac{h'(x_1)h''(x_1)}{\sqrt{1 + h'(x_1)^2}} \left(\frac{dx_1}{dt}\right)^2$$

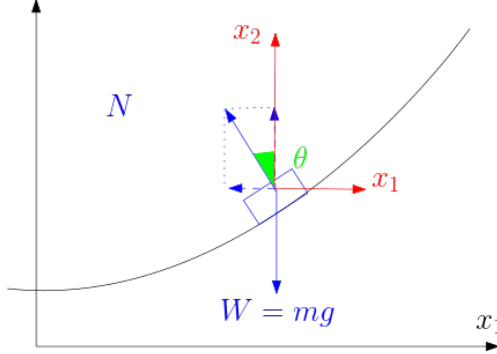
Και τελικά η 23 γίνεται:

$$\begin{aligned} m\sqrt{1 + h'(x_1)^2}\ddot{x}_r + m\frac{h'(x_1)h''(x_1)}{\sqrt{1 + h'(x_1)^2}}\dot{x}_1^2 + mg\frac{h'(x_1)}{\sqrt{1 + h'(x_1)^2}} &= 0 \\ \ddot{x}_r + \frac{h'(x_1)h''(x_1)}{1 + h'(x_1)^2}\dot{x}_1^2 + g\frac{h'(x_1)}{1 + h'(x_1)^2} &= 0 \end{aligned} \quad (25)$$

4.2.2 Μέθοδος Newton

Η μέθοδος newton οδηγεί στα ίδια αποτελέσματα:

blue: external forces red: Coordinate System



Σχήμα 5: Μονοδιάστατη περίπτωση με μεταβλητή κλίση - Μέθοδος Newton

Λαμβάνοντας τις εξισώσεις ισορροπίας σε κάθε κατεύθυνση:

$$X : m\ddot{x}_1 = -N\sin(\theta) \quad (26)$$

$$Y : m\ddot{y}_1 = N\cos(\theta) - mg \quad (27)$$

Κάνοντας τις κατάλληλες μετατροπές:

$$dy_1 = h'(x_1)dx_1 \rightarrow \dot{y}_1 = h'(x_1)\dot{x}_1 \rightarrow \ddot{y}_1 = h'(x_1)\ddot{x}_1 + h''(x_1)\dot{x}_1^2 \quad (28)$$

$$\frac{27}{28} N = \frac{m\ddot{y}_1 + mg}{\cos(\theta)} = \frac{m(h'(x_1)\ddot{x}_1 + h''(x_1)\dot{x}_1^2) + mg}{\cos(\theta)} \quad (29)$$

Χρησιμοποιώντας τις σχέσεις 26, 29:

$$\begin{aligned} \ddot{x}_1 &= -\frac{\sin(\theta)}{\cos(\theta)} \cdot (h'(x_1)\ddot{x}_1 + h''(x_1)\dot{x}_1^2 + g) \stackrel{22}{\rightarrow} \\ \ddot{x}_1 &= -h'(x_1) \cdot (h'(x_1)\ddot{x}_1 + h''(x_1)\dot{x}_1^2 + g) \\ \ddot{x}_1(1 + h'(x_1)^2) &= -h'(x_1)h''(x_1)\dot{x}_1^2 - h'(x_1)g \end{aligned}$$

Και τελικά καταλήγουμε στην σχέση 25:

$$\ddot{x}_1 + \frac{h'(x_1)h''(x_1)}{1 + h'(x_1)^2}\dot{x}_1^2 + g\frac{h'(x_1)}{1 + h'(x_1)^2} = 0$$

Η μέθοδος Newton μας δίνει επιπλέον την συνθήκη αποκόλλησης:

$$N \geq 0 \rightarrow \frac{(h'(x_1)\ddot{x}_1 + h''(x_1)\dot{x}_1^2) + g}{\cos(\theta)} \geq 0 \quad (30)$$

Και επειδή στο πρόβλημα $\theta \in (-\pi/2, \pi/2)$, η συνθήκη απλοποιείται περαιτέρω:

$$h'(x_1)\ddot{x}_1 + h''(x_1)\dot{x}_1^2 + g \geq 0 \quad (31)$$

4.3 Δισδιάστατο Πρόβλημα με μεταβλητή κλίση

4.3.1 Μέθοδος Lagrange - Πρώτη μέθοδος για Κινητική και Δυναμική ενέργεια

Έχοντας μελετήσει τις 2 απλοποιημένες περιπτώσεις, ακολουθεί η μελέτη της γενικότερης περίπτωσης. Θεωρώντας τη θέση του σωματιδίου στον χώρο να περιγράφεται από το διάνυσμα:

$$\vec{R} = [x_1, x_2, h(x_1, x_2)]^T \quad (32)$$

Αρχικά ορίζουμε το διάνυσμα $x = [x_1, x_2]^T$. Η ταχύτητα δίνεται από τον τύπο:

$$\dot{\vec{R}} = \vec{v} = \frac{\partial R}{\partial x} \cdot \frac{\partial x}{\partial t} \quad (33)$$

$$\vec{v} = \begin{bmatrix} 1 & 0 \\ 0 & 1 \\ \frac{\partial h}{\partial x_1} & \frac{\partial h}{\partial x_2} \end{bmatrix} \cdot \dot{x} = \begin{bmatrix} \dot{x}_1 \\ \dot{x}_2 \\ \nabla h^T \dot{x} \end{bmatrix} \quad (34)$$

Η κινητική και δυναμική ενέργεια γράφονται:

$$T = \frac{1}{2}m||v||^2 = \frac{1}{2}m(||\dot{x}||^2 + (\nabla h^T \dot{x})^2) = T(x(t), \dot{x}(t)) \quad (35)$$

$$V = \int_{x_0}^x mg \nabla h(s) \cdot ds = mg(h(x) - h(x_0)) = V(x) \quad (36)$$

4.3.2 Μέθοδος Lagrange - Δεύτερη μέθοδος για Κινητική και Δυναμική ενέργεια

Η κινητική ενέργεια γράφεται ως:

$$T = \frac{1}{2}m||x_r||^2 \quad (37)$$

Αυτή η κινητική ενέργεια έχει γραφτεί ως προς καμπυλόγραμμες συντεταγμένες, με χρήση του διανύσματος $x_r = [x_{r1}, x_{r2}]^T$. Ισχύει (για $i = 1, 2$), όπως αποδείχθηκε στην 1D περίπτωση:

$$dx_{r,i} = \sqrt{1 + \frac{\partial h}{\partial x_i}^2} dx_i \quad (38)$$

Έτσι, ο μετασχηματισμός που πρέπει να γίνει είναι:

$$x_r = Jx \quad (39)$$

όπου J ⁶:

$$J = \begin{bmatrix} \frac{\partial x_{r1}}{\partial x_1} & \frac{\partial x_{r1}}{\partial x_2} \\ \frac{\partial x_{r2}}{\partial x_1} & \frac{\partial x_{r2}}{\partial x_2} \end{bmatrix} = \begin{bmatrix} \sqrt{1 + \frac{\partial h}{\partial x_1}^2} & 0 \\ 0 & \sqrt{1 + \frac{\partial h}{\partial x_2}^2} \end{bmatrix} \quad (40)$$

Συνεπώς:

$$\begin{aligned} T &= \frac{1}{2}x_r^T [m] x_r = \frac{1}{2}(Jx)^T [m](Jx) = \frac{1}{2}m(Jx)^T (Jx) = \frac{1}{2}m||(Jx)||^2 \\ T &= \frac{1}{2}m x^T J^2 x \end{aligned} \quad (41)$$

Επειδή ο J είναι διαγώνιος, προκύπτει :

$$J^2 = \begin{bmatrix} 1 + \frac{\partial h}{\partial x_1}^2 & 0 \\ 0 & 1 + \frac{\partial h}{\partial x_2}^2 \end{bmatrix}$$

Έτσι, οι εκφράσεις 35 και 41 είναι ισοδύναμες.

⁶Επειδή $\det J \neq 0$ μπορούμε να πάμε από την μια βάση στην άλλη με αντιστοιχία 1-1

4.3.3 Μέθοδος Lagrange - Παραγώγιση Lagrangian

Αρχικά, οι παράγωγοι ακολουθούν τους παρακάτω κανόνες:

$$\frac{\partial}{\partial x} (x^T x) = 2x, \quad \frac{\partial}{\partial a} (a^T b) = b, \quad \frac{\partial}{\partial b} (a^T b) = a$$

Οπότε:

$$\frac{\partial T}{\partial \dot{x}} = m(\dot{x} + (\nabla h^T \dot{x}) \nabla h)$$

$$\frac{\partial}{\partial t} \left(\frac{\partial T}{\partial \dot{x}} \right) = m(\ddot{x} + (\nabla h^T \dot{x})) \underbrace{\frac{\partial}{\partial t} (\nabla h)}_{T_1} + \underbrace{\frac{\partial}{\partial t} (\nabla h^T \dot{x})}_{T_2} \nabla h \quad (42)$$

Παραγωγίζοντας αναλυτικότερα τους όρους T_1, T_2 :

$$T_1 : \frac{\partial}{\partial t} (\nabla h) = \frac{\partial}{\partial x} (\nabla h) \frac{\partial x}{\partial t} = J_{\nabla h} \dot{x} = H_h \dot{x}$$

Όπου $J_{\nabla h}$ η ιακωβιανή του ∇h . Ακόμα:

$$T_2 : \frac{\partial}{\partial t} (\nabla h^T \dot{x}) = \nabla h^T \ddot{x} + \dot{x}^T \frac{\partial}{\partial t} (\nabla h) = \nabla h^T \ddot{x} + \dot{x}^T H_h \dot{x} \quad (43)$$

Εποιηση, αντικαθιστώντας τους όρους T_1, T_2 στην σχέση 42:

$$\frac{\partial}{\partial t} \left(\frac{\partial T}{\partial \dot{x}} \right) = m(\ddot{x} + (\nabla h^T \dot{x}) H_h \dot{x} + (\nabla h^T \ddot{x} + \dot{x}^T H_h \dot{x}) \nabla h) \quad (44)$$

Τηλεογίζοντας τους υπόλοιπους όρους της Lagrangian:

$$\begin{aligned} \frac{\partial(T - V)}{\partial x} &= \frac{1}{2} m \frac{\partial}{\partial x} (||\dot{x}||^2 + (\nabla h^T \dot{x})^2) - mg \frac{\partial h}{\partial x} \\ \frac{\partial(T - V)}{\partial x} &= m(\nabla h^T \dot{x}) \underbrace{\frac{\partial}{\partial x} (\nabla h^T \dot{x})}_{=T_2} - mg \nabla h = m(\nabla h^T \dot{x}) H_h \dot{x} - mg \nabla h \end{aligned} \quad (45)$$

Άρα συνολικά, με χρήση των 45 και 44:

$$m(\ddot{x} + (\nabla h^T \ddot{x} + \dot{x}^T H_h \dot{x}) \nabla h) + mg \nabla h = 0 \quad (46)$$

Η σχέση 46 είναι η τελική εξίσωση κίνησης. Μπορεί ωστόσο να απλοποιηθεί. Αρχικά, χρησιμοποιείται η ταυτότητα:

$$\nabla h(\nabla h^T \ddot{x}) = (\nabla h \otimes \nabla h) \ddot{x} \quad (47)$$

όπου $\nabla h \otimes \nabla h$ είναι το outer product των ∇h . Εποιηση, η 46 γράφεται:

$$(I_2 + \nabla h \otimes \nabla h) \ddot{x} + (\dot{x}^T H_h \dot{x}) \nabla h + g \nabla h = 0$$

Η έκφραση αυτή απλοποιείται περαιτέρω με χρήση του θεωρήματος Sherman - Morrison [2] σύμφωνα με το οποίο :

Sherman - Morrison theorem

Αν ο A είναι αντιστρέψιμος πίνακας, και τα u, v είναι διανύσματα στήλης, τότε αν ισχύει:

$$1 + v^T A^{-1} u \neq 0$$

Η έκφραση $(A + uv^T)$ αντιστρέφεται και ο αντίστροφος δίνεται από τον παρακάτω τύπο:

$$(A + uv^T)^{-1} = A^{-1} - \frac{A^{-1} u v^T A^{-1}}{1 + v^T A^{-1} u}. \quad (48)$$

Οπότε, ο αντίστροφος του $(I_2 + \nabla h \otimes \nabla h)$ προκύπτει (Ισχύει $1 + ||\nabla h||^2 > 0, \forall x \in W$):

$$(I_2 + \nabla h \otimes \nabla h)^{-1} = I_2 - \frac{\nabla h \otimes \nabla h}{1 + \|\nabla h\|^2} \quad (49)$$

Εποιητικές μερικές πράξεις:

$$\ddot{x} + ((\dot{x}^T H_h \dot{x}) + g) \underbrace{(I_2 - \frac{\nabla h \otimes \nabla h}{1 + \|\nabla h\|^2})}_{T_3} \nabla h = 0$$

Και κάνοντας τις πράξεις στον όρο T_3 :

$$T_3 : (I_2 - \frac{\nabla h \otimes \nabla h}{1 + \|\nabla h\|^2}) \nabla h = \frac{(1 + \|\nabla h\|^2) \nabla h - (\nabla h \otimes \nabla h) \nabla h}{1 + \|\nabla h\|^2} = \xrightarrow{47} \\ T_3 : \frac{(1 + \|\nabla h\|^2) \nabla h - (\nabla h^T \nabla h) \nabla h}{1 + \|\nabla h\|^2} = \frac{(1 + \|\nabla h\|^2) \nabla h - \|\nabla h\|^2 \nabla h}{1 + \|\nabla h\|^2} = \frac{\nabla h}{1 + \|\nabla h\|^2}$$

Εποιητικές πράξεις η παρακάτω εξίσωση κίνησης, η οποία είναι γραμμένη σε βολική μορφή:

$$\ddot{x} + \frac{\dot{x}^T H_h \dot{x}}{1 + \|\nabla h\|^2} \nabla h + \frac{g}{1 + \|\nabla h\|^2} \nabla h = 0 \quad (50)$$

Μερικά σχόλια για τον τύπο: Ο όρος:

$$\frac{\dot{x}^T H_h \dot{x}}{1 + \|\nabla h\|^2} \nabla h$$

είναι ο όρος που λαμβάνει υπόψη την καμπυλότητα του χωρίου. Ενώ ο όρος:

$$\frac{g}{1 + \|\nabla h\|^2} \nabla h$$

είναι η επιδραση της βαρύτητας στο σύστημα.

4.3.4 Μέθοδος Newton

Λαμβάνοντας ισορροπία δυνάμεων:

$$m\vec{a} = -m\vec{g} + N\vec{n} \quad (51)$$

όπου το διάνυσμα \vec{n} είναι το μοναδιαίο κάθετο διάνυσμα στην επιφάνεια, και συνεπώς η δύναμη $N\vec{n}$ είναι η κάθετη αντίδραση από το έδαφος. Σε μια παραμετροποιημένη επιφάνεια $S(u, v)$ (στην παρούσα περίπτωσή $u = x_1, v = x_2$), το κάθετο διάνυσμα δίνεται από τον τύπο:

$$\vec{n} = \frac{\partial S}{\partial u} \times \frac{\partial S}{\partial v} \quad (52)$$

οπότε προκύπτει ίσο με:

$$\vec{n} = \left[-\frac{\partial h}{\partial x_1}, -\frac{\partial h}{\partial x_2}, 1 \right]^T$$

Πολλαπλασιάζοντας την παραπάνω ποσότητα με τον όρο $\frac{1}{\sqrt{1 + \|\nabla h\|^2}}$ εξασφαλίζεται ότι είναι το μοναδιαίο κάθετο διάνυσμα. Έποιητικές πράξεις η παρακάτω εξίσωση:

$$m\vec{a} = m \begin{bmatrix} \ddot{x}_1 \\ \ddot{x}_2 \\ \ddot{x}_3 \end{bmatrix} = \begin{bmatrix} 0 \\ 0 \\ -mg \end{bmatrix} + N \cdot \frac{1}{\sqrt{1 + \|\nabla h\|^2}} \begin{bmatrix} -\frac{\partial h}{\partial x_1} \\ -\frac{\partial h}{\partial x_2} \\ 1 \end{bmatrix} \quad (53)$$

Χρησιμοποιώντας την σχέση 43, προκύπτει:

$$\vec{v} = \begin{bmatrix} \dot{x}_1 \\ \dot{x}_2 \\ \nabla h^T \dot{x} \end{bmatrix} \rightarrow \vec{a} = \begin{bmatrix} \ddot{x}_1 \\ \ddot{x}_2 \\ \nabla h^T \ddot{x} + \dot{x}^T H_h \dot{x} \end{bmatrix} \quad (54)$$

Έτσι, χρησιμοποιώντας την τρίτη σχέση από την εξίσωση 54:

$$\begin{aligned} m(\nabla h^T \ddot{x} + \dot{x}^T H_h \dot{x}) &= -mg + N \frac{1}{\sqrt{1 + ||\nabla h||^2}} \rightarrow \\ N \frac{1}{\sqrt{1 + ||\nabla h||^2}} &= m(\nabla h^T \ddot{x} + \dot{x}^T H_h \dot{x}) + mg \end{aligned} \quad (55)$$

Και αντικαθιστώντας την σχέση 55 στις 2 πρώτες της 54, λαμβάνεται η σχέση 46. Οπότε, προκύπτει το ίδιο αποτέλεσμα. Ωστόσο, η μέθοδος του newton δίνει και την συνθήκη αποκόλλησης:

$$N \geq 0 = (\nabla h^T \ddot{x} + \dot{x}^T H_h \dot{x}) + g \geq 0 \quad (56)$$

4.4 Προσομοίωση Δυναμικού Συστήματος

Η προσομοίωση γίνεται στην matlab. Θεωρώντας ως διάνυσμα κατάστασης το παρακάτω:

$$y = [y_1, y_2, y_3, y_4]^T = [x_1, \dot{x}_1, x_2, \dot{x}_2]^T \quad (57)$$

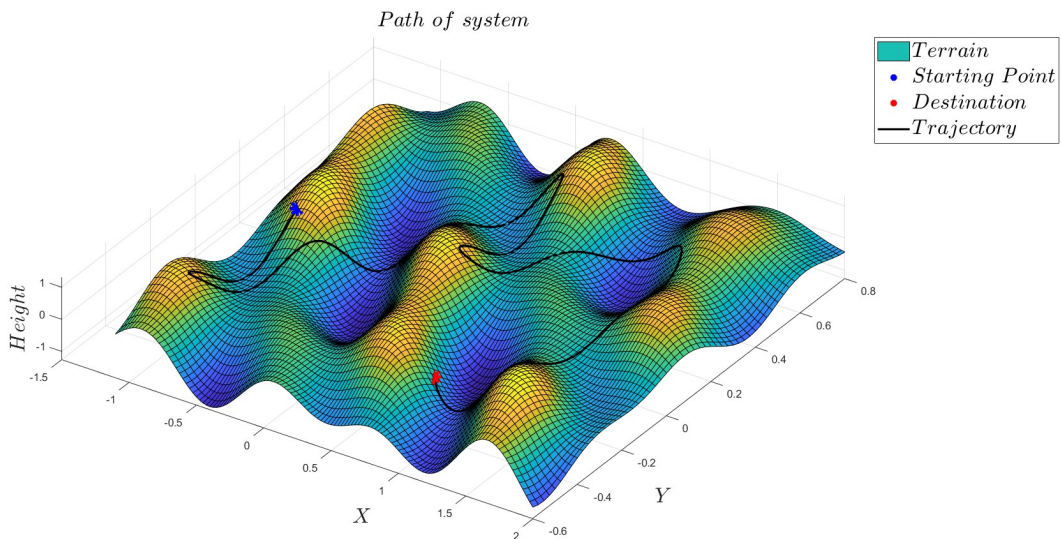
Η εξίσωση κίνησης γίνεται:

$$\dot{y} = \frac{d}{dt} \begin{Bmatrix} y_1 \\ y_2 \\ y_3 \\ y_4 \end{Bmatrix} = \begin{Bmatrix} y_2 \\ f_1(y_1, y_3) \\ y_4 \\ f_2(y_1, y_3) \end{Bmatrix} \quad (58)$$

και η εξωτερική δύναμη f είναι ένα διάνυσμα 2x1:

$$f = -\frac{\dot{x}^T H_h \dot{x}}{1 + ||\nabla h||^2} \nabla h - \frac{g}{1 + ||\nabla h||^2} \nabla h \quad (59)$$

Παρακάτω παρουσιάζεται αποτέλεσμα της προσομοίωσης:



Σχήμα 6: Προσομοίωση Δυναμικού Συστήματος

5. Έλεγχος Δυναμικού Συστήματος

5.1 Σχεδιασμός Ελεγκτή

Για να ελεγχθεί το σύστημα, υιοθετείται έλεγχος της μορφής:

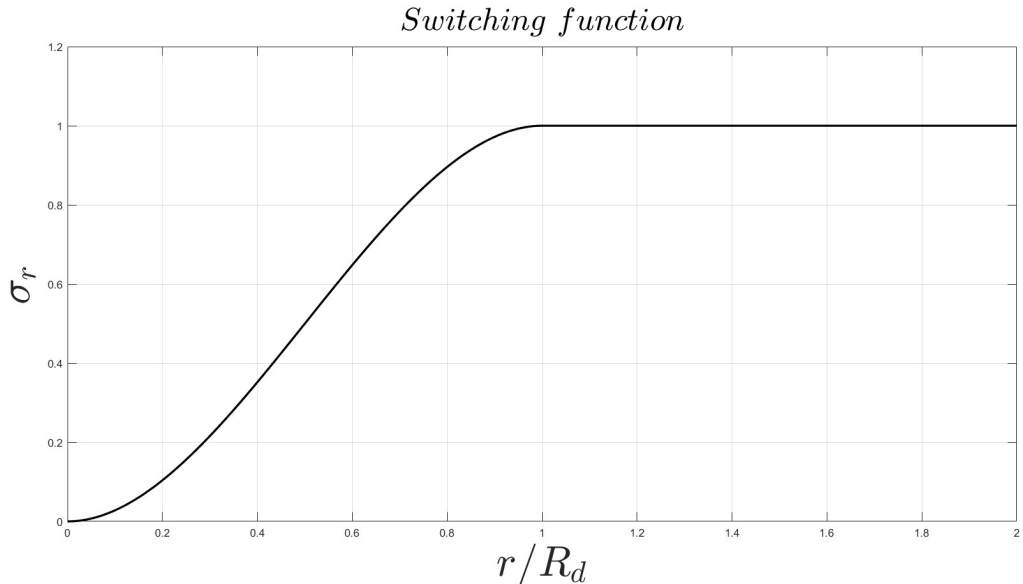
$$u = \frac{1}{\sigma_r} \nabla \Phi - k(\dot{x} - \dot{x}_d) + F_{comp} \quad (60)$$

όπου:

- Το Φ είναι το artificial harmonic potential field που προκύπτει από το πρόγραμμα των αρμονικών πεδίων.
- Το σ_r είναι ένα bumping function⁷, που δίνεται από τον τύπο:

$$\sigma_r = \begin{cases} 1 - \exp\left(-\left(\frac{r}{r-R_d}\right)^2\right), & \text{for } r < R_d \\ 1, & \text{for } r \geq R_d \end{cases} \quad (61)$$

όπου r η απόσταση από τα όρια του χωρίου, που δίνεται από το πρόγραμμα *distance.m*, και R_d είναι μια απόσταση-παράμετρος. Η συνάρτηση $\sigma_r(r)$ έχει τη μορφή που φαίνεται στο σχήμα 7.



Σχήμα 7: Bumping function

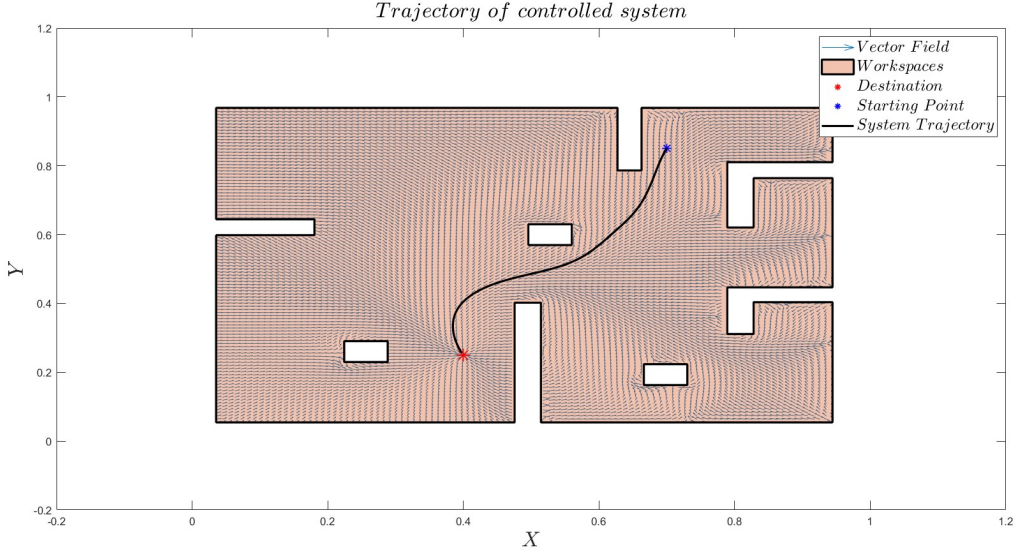
Παρατηρείται πως για $r > R_d$ ο όρος $1/\sigma_r$ δεν επηρεάζει τον έλεγχο, ενώ όταν $r \rightarrow 0$, δηλαδή όταν το σύστημα τείνει στα όρια του χωρίου, η δύναμη που ασκείται από τον ελεγκτή προς το εσωτερικό του χώρου εργασίας απειρίζεται ($\frac{1}{\sigma_r} \rightarrow \infty$). Έτσι, εξασφαλίζεται η ασφάλεια του ελεγκτή.

- Ο όρος $-k(\dot{x} - \dot{x}_d)$ έχει διπλή λειτουργία. Αρχικά, προσθέτει απόσβεση στο σύστημα, συγκεκριμένα το τμήμα $-k\dot{x}$. Επιπλέον, το διάνυσμα $\dot{x}_{correction} = \dot{x} - \dot{x}_d$ αποτελεί το διάνυσμα διόρθωσης προς την επιθυμητή ταχύτητα.
- Τέλος, ο όρος F_{comp} αντισταθμίζει τις αδρανειακές και βαρυτικές δυνάμεις.

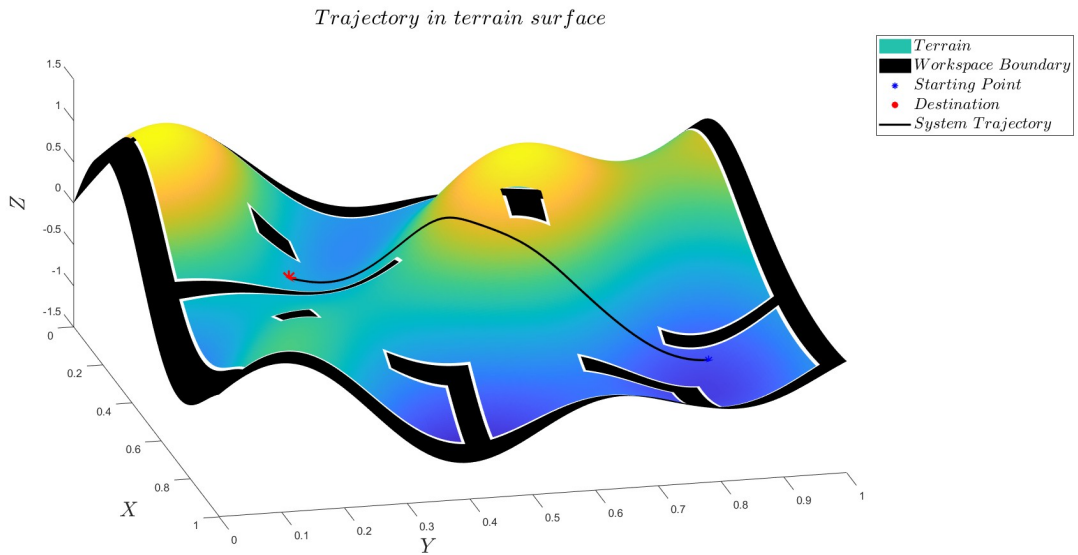
⁷Η συγκεκριμένη συνάρτηση είναι C^∞ αλλά όχι αναλυτική.

5.2 Προσομοίωση Ελεγκτή

Στη συνέχεια παρουσιάζεται η τροχιά ενός συστήματος σε έναν τυχαίο γνωστό χώρο υπό την επίδραση του ελεγκτή αυτού, στα σχήματα 8 και 9.



Σχήμα 8: Τροχιά ελεγμένου συστήματος

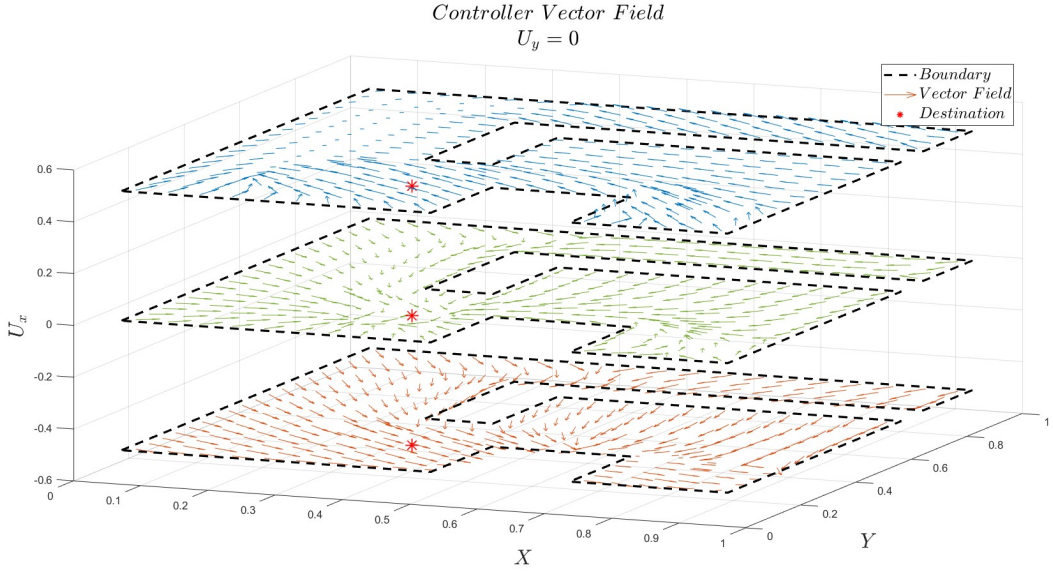


Σχήμα 9: Τροχιά ελεγμένου συστήματος πάνω στην επιφάνεια του εδάφους

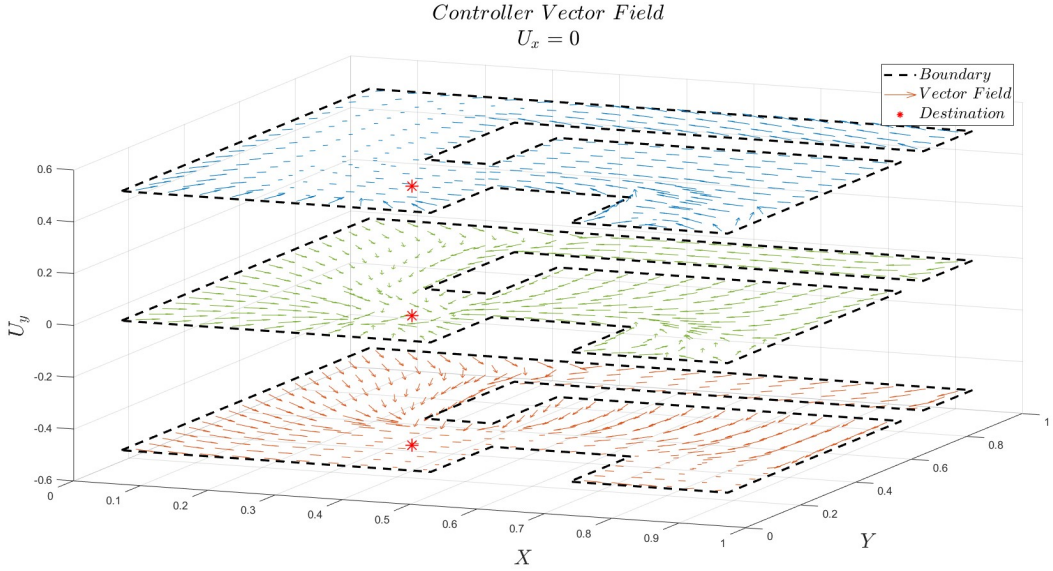
Ο ελεγκτής αυτός μπορεί να υπερηφανεύει ως ένα διανυσματικό πεδίο $F : \mathbb{R}^4 \rightarrow \mathbb{R}^2$, που λαμβάνει την κατάσταση και δίνει την δύναμη επενέργησης:

$$F(\mathbf{x}) = F(x_1, \dot{x}_1, x_2, \dot{x}_2) = (u_1, u_2) \quad (62)$$

Καθώς η είσοδος στο πεδίο είναι τεσσάρων διαστάσεων, δεν μπορεί να αναπαρασταθεί στον τρισδιάστατο χώρο. Για αυτό παγώνεται μια μεταβλητή και λαμβάνεται η τομή του διανυσματικού χώρου του ελεγκτή. Ακολουθούν δύο παραδείγματα στα σχήματα 11 και 10.



Σχήμα 10: Διανυσματικό πεδίο ελεγκτή. Τομή για $U_{y0} = 0m/s$.



Σχήμα 11: Διανυσματικό πεδίο ελεγκτή. Τομή για $U_{x0} = 0m/s$.

5.3 Κόστος Ελεγκτή

Το κόστος του ελεγκτή δίνεται από τον τύπο:

$$L = \int_{t=0}^{\infty} a||x - x_d||^2 + b||\dot{x}||^2 + c||u||^2 dt \quad (63)$$

όπου:

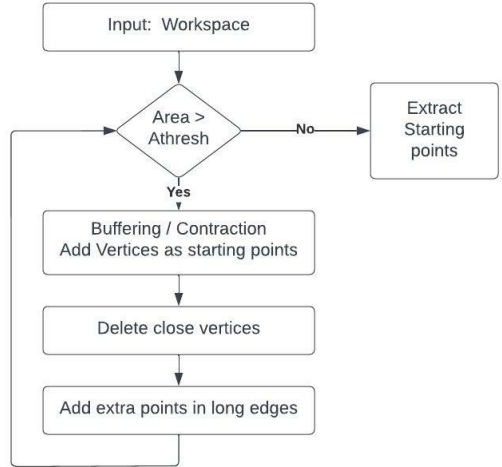
- Ο όρος $a||x - x_d||^2$ λαμβάνει υπόψη την απόσταση από τον στόχο κάθε χρονική στιγμή
- Ο όρος $b||\dot{x}||^2$ λαμβάνει υπόψη την ταχύτητα του συστήματος
- Ο όρος $c||u||^2$ λαμβάνει υπόψη το κόστος επενέργησης.

Οι παράμετροι a , b , c αποτελούν τα σχετικά βάρη. Στη συνέχεια παρουσιάζονται διαγράμματα για διάφορα σχετικά βάρη.

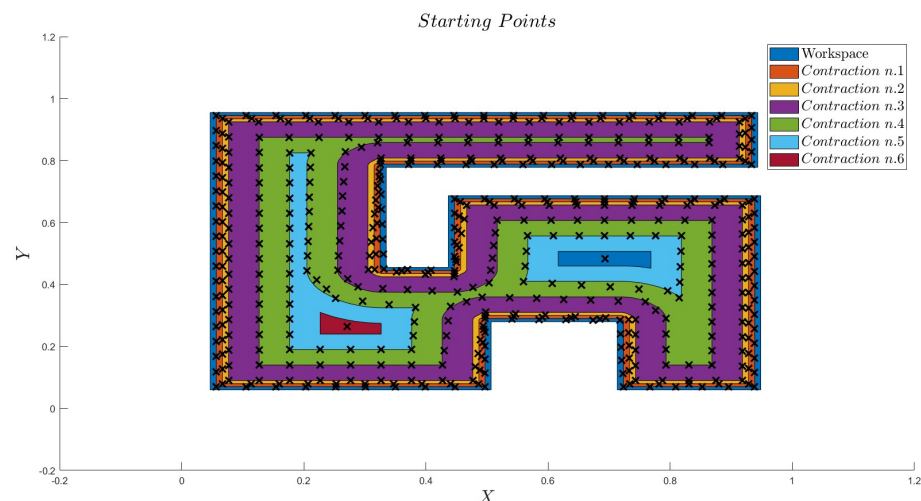
5.3.1 Επιλογή Αρχικών Σημείων

Για να υπολογισθεί το κόστος του ελεγκτή, πρέπει να υπολογισθούν οι τροχιές του συστήματος από διάφορα σημεία του χώρου εργασίας. Ότιστερα πρέπει να γίνει παρεμβολή της τιμής του κόστους ώστε να δημιουργηθεί η επιφάνεια κόστους⁸. Όμως, ένας τυχαίος χώρος έχει διάφορες διαμορφώσεις, και για να μπορέσει να γίνει η παρεμβολή πρέπει να υπάρχουν αρκετά σημεία σε κάθε διαμόρφωση του χωρίου. Επιπλέον, ένα άλλο ζητούμενο από αυτή την ανάλυση είναι η διερεύνηση φαινομένων απειρισμού στα όρια του χώρου εργασίας. Αυτό απαιτεί ακριβέστερη 'διαχριτοποίηση' των αρχικών σημείων κοντά στα όρια του χώρου εργασίας. Έτσι, δημιουργήθηκε ένα πρόγραμμα, το *DOE.m* το οποίο λαμβάνει με συστηματικό τρόπο σημεία μέσα στο χωρίο.

Ειδικότερα, ο χώρος εργασίας αρχικά συστέλλεται πολύ λίγο, ώστε να δημιουργηθεί ένα όμοιο του workspace χωρίο, εσωτερικά του. Εδώ πρέπει να τονισθεί, πώς με αυτή την μέθοδο υπάρχουν σίγουρα (ρυθμίζοντας και το offset της συστολής) αρκετά σημεία σε κάθε διαμόρφωση του χώρου, ώστε η διαμόρφωση αυτή να μπορεί να αναπαρασταθεί με ένα πολύγωνο⁹. Ότιστερα, όλες οι κορυφές γίνονται υποψήφια σημεία εκκίνησης, αφού πρώτα πολύ κοντινά σημεία εκφυλιστούν σε ένα. Παράλληλα, σε πολύ μακρινά vertices (σε μεγάλα ευθύγραμμα τμήματα), εισέρχονται και άλλα σημεία εκκίνησης ενδιάμεσα από αυτά. Ότιστερα, η διαδικασία αυτή επαναλαμβάνεται έως ότου το εμβαδόν των εσωτερικών πολυγώνων (συσταλμένων χωρίων), ξεχωριστά το καθένα, να είναι μικρότερο από μια σταθερά (A_{Thresh}). Τότε, λαμβάνεται το κεντροειδές (centroid) των πολυγώνων αυτών σαν τελευταίο σημείο εκκίνησης. Τόσο τα διάφορα offsets (αρχικά το offset είναι μικρότερο για να παρατηρηθεί ο απειρισμός του ελεγκτή), όσο και οι αποστάσεις για εκφυλισμό των κοντινών κορυφών και εμπλουτισμό των μακρινών, είναι παράμετροι που μπορούν να τροποποιηθούν, μέχρι η δειγματοληψία στο εσωτερικό του χωρίου να είναι ικανοποιητική. Στο σχήμα 12 παρουσιάζεται ένα συνοπτικό λογικό διάγραμμα¹⁰, για να γίνει περισσότερο κατανοητή η λειτουργία του προγράμματος, ενώ στο σχήμα 13 παρουσιάζεται το αποτέλεσμα του προγράμματος με τα σημεία εκκίνησης. Παρατηρείται πως πράγματι στα όρια γίνεται πυκνή δειγματοληψία.



Σχήμα 12: Συνοπτικό λογικό Διάγραμμα προγράμματος επιλογής αρχικών σημείων



Σχήμα 13: Αρχικά σημεία που επιλέγονται από το πρόγραμμα *DOE.m*

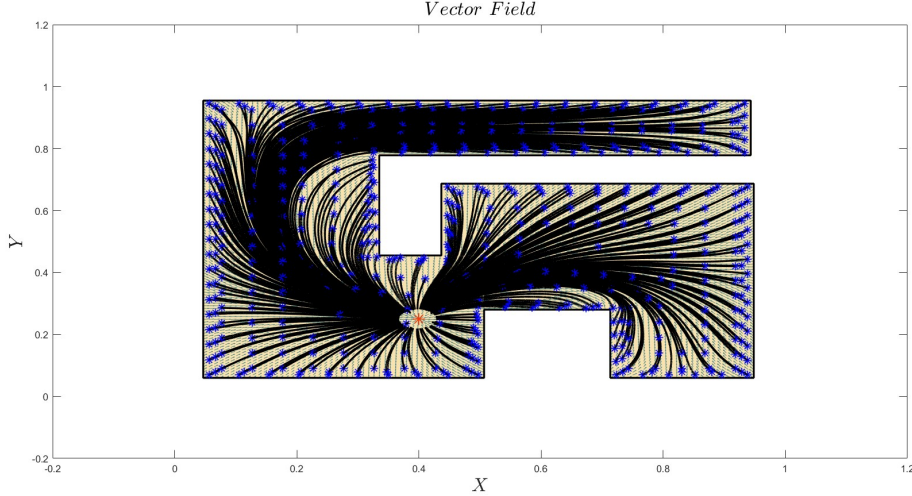
⁸Η παρεμβολή γίνεται ούτως η άλλως από την συνάρτηση *surf* της *matlab*.

⁹Σε αρχικές δοκιμές -χρησιμοποιώντας την εντολή *meshgrid* και ελέγχοντας αν τα σημεία είναι στον χώρο εργασίας- σε κάποιους διαδρόμους λαμβάνονται starting points κατά μήκος μιας γραμμής. Οπότε, με την εντολή *surf*, δεν μπορούσε να γίνει παρεμβολή, καθώς στα γραφήματα του κόστους οι διάδρομοι αυτοί δεν φαίνονται.

¹⁰Στο παράτημα, υπάρχει αναλυτικότερο λογικό διάγραμμα, στο σχήμα 22

5.3.2 Υπολογισμός Κόστους

Έχοντας τα υποψήφια αρχικά σημεία, προσομοιώνονται οι τροχιές του συστήματος και υπολογίζεται αριθμητικά το κόστος από τον τύπο 63. Αρχικά παρουσιάζονται οι τροχιές των σημείων στο σχήμα 14. Τα σημεία εκκίνησης είναι αυτά τα οποία φαίνεται να επιλέγονται στο σχήμα 13.



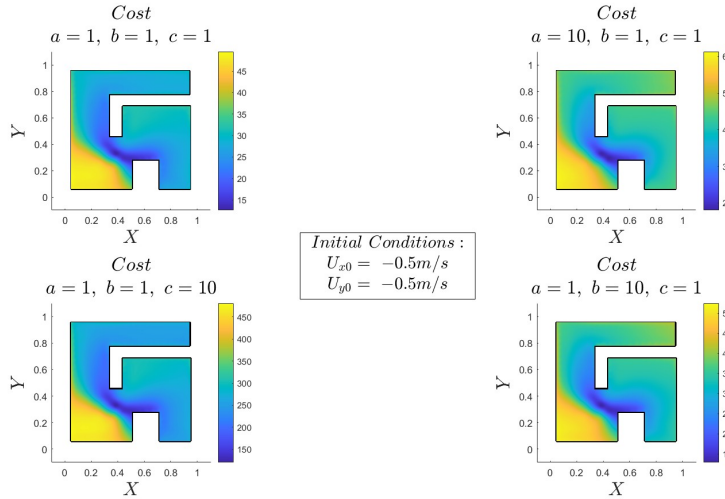
Σχήμα 14: Τροχιές σημείων που επιλέγονται από το πρόγραμμα *DOE.m*

Τστερα, εφόσον έχει υπολογιστεί το κόστος σε κάθε σημείο, γίνεται παρεμβολή του κόστους σε ένα structured grid (που προκύπτει από την εντολή *meshgrid* της matlab) για να προκύψουν τα τελικά διαγράμματα. Η παρεμβολή γίνεται με την εντολή *griddata* και τη μέθοδο *v4*. Τα αποτελέσματα της παρεμβολής έχουν συγκριθεί και με τη μέθοδο *nearest* για επαλήθευση.

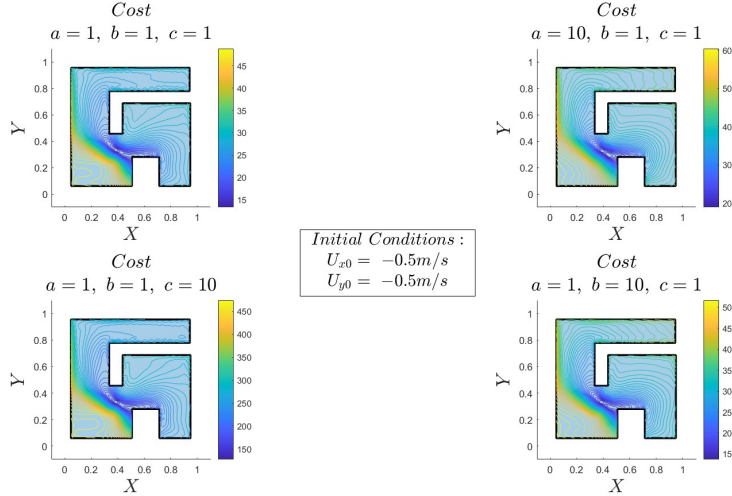
Ακολουθούν μερικά γραφήματα με την επιφάνεια κόστους όπως υπολογίστηκε για αρχικές συνθήκες:

$$u_{x0} = u_{y0} = -0.5 \text{ m/s}$$

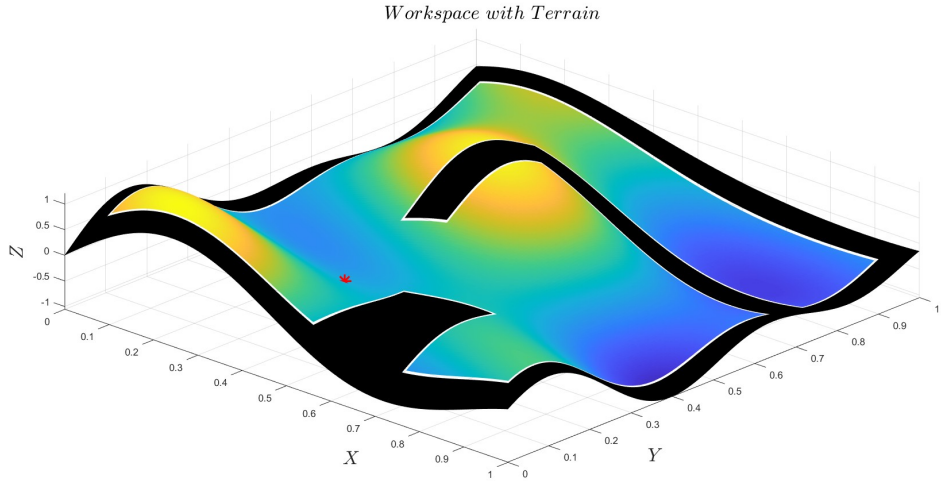
και την επίδραση της βαρύτητας στα σχήματα 15 και 16. Παρατηρείται πως στην κάτω αριστερή περιοχή το κόστος είναι πολύ αυξημένο, καθώς ο ελεγχτής πρέπει συνεχώς να αντισταθμίζει τις δυνάμεις που προκύπτουν λόγω της κλίσης. Η κλίση του εδάφους φαίνεται στο σχήμα 17.



Σχήμα 15: Επιφάνεια κόστους επενεργητή με αντιστάθμιση βαρύτητας, με αρχικές συνθήκες ταχύτητας $u_{x0} = u_{y0} = -0.5 \text{ m/s}$

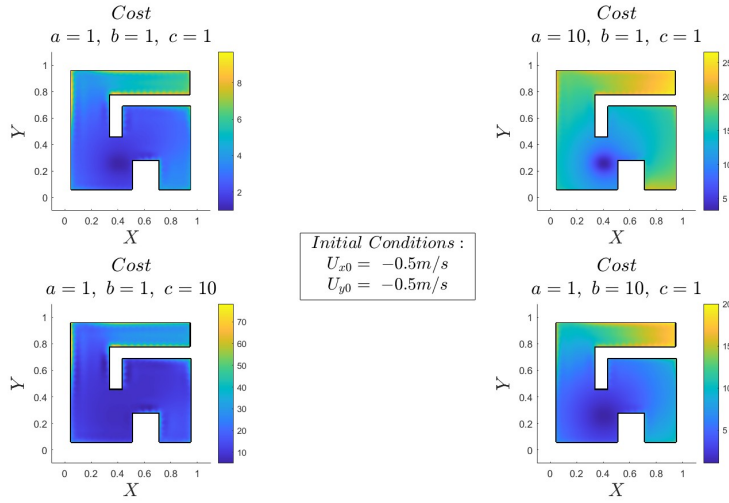


Σχήμα 16: Ισοσταθμικές γραμμές κόστους επενεργητή με αντιστάθμιση βαρύτητας, με αρχικές συνθήκες ταχύτητας $u_{x0} = u_{y0} = -0.5m/s$

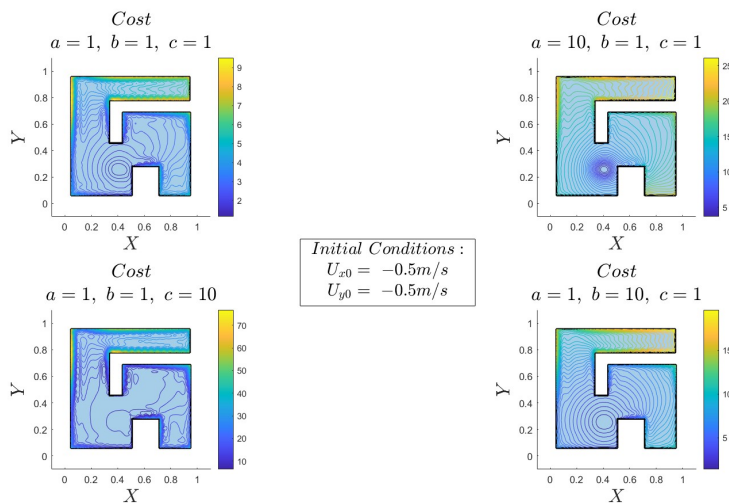


Σχήμα 17: Επιφάνεια εδάφους στον χώρο εργασίας

Αμελώντας την βαρύτητα και τις αδρανειακές δυνάμεις από την προσομοίωση (γεγονός που σημαίνει πως αφαιρέίται και ο όρος αντιστάθμισης F_{comp} από τον ελεγκτή), προκύπτουν οι επιφάνειες που φαίνονται στα σχήματα 18 και 19. Παρατηρείται πως κοντά στα όρια, το κόστος απειρίζεται, όπως είναι αναμενόμενο λόγω του όρου $\frac{1}{\sigma_r}$.



Σχήμα 18: Επιφάνεια κόστους επενεργητή χωρίς αντιστάθμιση βαρύτητας, με αρχικές συνθήκες ταχύτητας $u_{x0} = u_{y0} = -0.5m/s$



Σχήμα 19: Ισοσταθμικές γραμμές κόστους επενεργητή χωρίς αντιστάθμιση βαρύτητας, με αρχικές συνθήκες ταχύτητας $u_{x0} = u_{y0} = -0.5m/s$

6. Αναφορές

- [1] Savvas G. Loizou. Closed form navigation functions based on harmonic potentials. In *2011 50th IEEE Conference on Decision and Control and European Control Conference*, pages 6361–6366, 2011.
- [2] Sherman Formula in Wikipedia:. https://en.wikipedia.org/wiki/Sherman-Morrison_formula.
- [3] Panagiotis Rousseas, Charalampos P. Bechlioulis, and Kostas J. Kyriakopoulos. Trajectory planning in unknown 2d workspaces: A smooth, reactive, harmonics-based approach. *IEEE Robotics and Automation Letters*, 7(2):1992–1999, 2022.

7. Προγράμματα Matlab

7.1 Navigation Functions

7.1.1 NavigationFunctionSimulation.m

Αρχικά, παρουσιάζεται ο γενικός κώδικας ("main") στον οποίο ο χρήστης βάζει τα στοιχεία του χώρου εργασίας, δηλαδή:

- τον επιθυμητό προορισμό,
- το σημείο εκκίνησης και
- τη θέση των εμποδίων.

Πέρα από το section των εισόδων (*input* στο πρόγραμμα), ο χρήστης δεν αλληλεπιδρά παραπάνω με το πρόγραμμα.

Στη συνέχεια το πρόγραμμα πλοτάρει το workspace, καλεί την συνάρτηση *navigationFUN.m* που δίνει τη συνάρτηση πλοήγησης και το πεδίο ταχυτήτων (αρνητικό gradient) και κάνει τα αντίστοιχα γραφήματα. Στο τέλος, γίνεται η προσομοίωση του συστήματος, με βάση αυτό το πεδίο ταχυτήτων. Έχει δημιουργηθεί και ένα event function, το *reach_target.m*, ώστε η προσομοίωση να σταματάει όταν το σύστημα πλησιάσει αρκετά τον στόχο.

7.1.2 navigationFUN.m

Η συνάρτηση δέχεται σαν όρισμα τα:

- *input*: θέση στον χώρο
 - *Pi*: θέση εμποδίων
 - *Pd*: προορισμός
 - *Ki, Kd*: Παράμετροι του πεδίου που ορίζονται στο κυρίως πρόγραμμα
- και υπολογίζει το πεδίο ταχυτήτων και το navigation function.

7.1.3 reach_target.m

Η συνάρτηση δέχεται σαν όρισμα τα:

- *t*: χρόνος (για να έχει συμβατό format με τα ode functions της matlab).
- *y*: θέση συστήματος
- *Pd*: προορισμός

και εξετάζει αν το σύστημα βρίσκεται κοντά στον προορισμό

7.1.4 Κώδικες

NavigationFunctionSimulation.m:

```
1 %% Info
2 %The user provides the parameters of the Circular Workspace (destination ,
3 %starting point and obstacle positions). Then the programm calls
4 %NavigationFun.m to compute the navigation function and it simulates the
5 %trajectory of the simple intergrator
6
7 %% input
8 %Obstacle positions [x1,x2,...,xn ; y1,y2,...,yn]
9 Pi = [ -0.2 -0.3 0.15 0.25 0.6; 0.4 -0.05 -0.3 -0.05 0.05];
10 %Destination
```

```

11 Pd = [ 0.55; 0.6];
12 %Starting Point
13 Ps = [-0.4; -0.3];
14
15 Ki = 1;
16 Kd = Ki*size(Pi,2)+1;
17 %% Workspace plot
18 tt = linspace(0,2*pi);
19
20 figure(1)
21 plot(cos(tt),sin(tt),'k','DisplayName','$Workspace \ Boundary$') %contour
22 hold on
23 scatter(Pi(1,:), [Pi(2,:)],150,'k','Marker','*', 'LineWidth',1,'DisplayName','
    $Point \ Obstacles$') %point-obstacle
24 hold on
25 scatter(Pd(1),Pd(2),150,'r','Marker','*', 'LineWidth',1,'DisplayName','
    $Destination$') % destination
26 hold on
27 scatter(Ps(1),Ps(2),150,'b','Marker','*', 'LineWidth',1,'DisplayName','
    $Starting \ Point$') %starting point
28 hold on
29 title('$Workspace$', 'Interpreter', 'latex', 'FontSize', 20)
30 xlabel('$X$', 'Interpreter', 'latex', 'FontSize', 20)
31 ylabel('$Y$', 'Interpreter', 'latex', 'FontSize', 20)
32 legend('Interpreter', 'latex', 'FontSize=15, Location='bestoutside')
33 axis equal %no distortion
34
35 %% Vector Field
36 Xx = -1:0.025:1;
37 Yy = -1:0.025:1;
38
39 npoints = length(Xx);
40 [X,Y] = meshgrid(Xx,Yy);
41
42 nav = zeros(npoints,npoints);
43 grad_fieldY = nav;
44 grad_fieldX = nav;
45
46 for row = 1:size(X,1)
47     for cols = 1: size(X,2)
48         if X(row,cols)^2+Y(row,cols)^2 <=1
49             [GRAD,nav_calced] = navigationFUN([X(row,cols),Y(row,cols)],Pi,
                Pd,Ki,Kd);
50             nav(row,cols) = nav_calced;
51             grad_fieldX(row,cols) = GRAD(1)/sqrt(GRAD(1)^2 + GRAD(2)^2) ;
52             grad_fieldY(row,cols) = GRAD(2)/sqrt(GRAD(1)^2 + GRAD(2)^2) ;
53         else
54             nav(row,cols) = nan;
55             grad_fieldX(row,cols)= nan;
56             grad_fieldY(row,cols) =nan;
57         end
58     end
59 end
60
61 %Navigation Function
62 figure(25)
63 surf(X,Y,nav, 'FaceColor', 'texturemap')

```

```

64 title('$Navigation \ Function$', 'Interpreter', 'latex', 'FontSize', 20)
65 xlabel('$X$', 'Interpreter', 'latex', 'FontSize', 20)
66 ylabel('$Y$', 'Interpreter', 'latex', 'FontSize', 20)
67 zlabel('$\Theta$', 'Interpreter', 'latex', 'FontSize', 20)
68 view(45, 20);
69 axis equal
70
71 %Workspace with velocity Field
72 figure(31)
73 plot(cos(tt), sin(tt), 'k', 'DisplayName', '$Workspace \ Boundary') %contour
74 hold on
75 quiver(X, Y, -grad_fieldX, -grad_fieldY, 1, 'Color', '#0072BD', 'DisplayName',
    '$Vector \ Field')
76 hold on
77 scatter(Pi(1, :), [Pi(2, :)], 150, 'k', 'Marker', '*', 'LineWidth', 1, 'DisplayName',
    '$Point \ Obstacles') %point-obstacle
78 hold on
79 scatter(Pd(1), Pd(2), 150, 'r', 'Marker', '*', 'LineWidth', 1, 'DisplayName',
    '$Destination') % destination
80 hold on
81 scatter(Ps(1), Ps(2), 150, 'b', 'Marker', '*', 'LineWidth', 1, 'DisplayName',
    '$Starting \ Point') %starting point
82 hold on
83 title('$Vector \ Field$', 'Interpreter', 'latex', 'FontSize', 20)
84 xlabel('$X$', 'Interpreter', 'latex', 'FontSize', 20)
85 ylabel('$Y$', 'Interpreter', 'latex', 'FontSize', 20)
86
87 %% simulation
88 final_fun = @(t, y) reach_target(t, y, Pd);
89 options = odeset('Events', final_fun);
90 [t, y] = ode45(@(t, y) -navigationFUN(y, Pi, Pd, Ki, Kd)', [0 1000], Ps, options);
91
92 plot(y(:, 1), y(:, 2), 'k', 'LineWidth', 2, 'DisplayName', '$System \ Trajectory')
93 legend('Interpreter', 'latex', FontSize=15, Location='best')
94 hold off
95 axis equal %no distortion

```

navigationFUN.m

```

1 function [GRADIENT, Var4, Var2] = navigationFUN(input, Pi, Pd, Ki, Kd)
2 %input is the position in 2D space.
3 %Pi is a 2xM matrix with the positions of the point obstacles. The first
4 %row is the x-direction, and the second the y-direction of each obstacle.
5 %Pd is a 2x1 vector with the destination point
6 %Ki is the gain of the sources- obstacles
7 %Kd is the gain of the sink-destination
8
9 x = input(1); %x-direction
10 y = input(2); %y-direction
11 M = size(Pi, 2); %number of point obstacles
12
13 %% transformations
14 radius = 1;
15 Var1 = [x, y] / (radius - sqrt(x.^2 + y.^2)); % to harmonic domain x, y
16 HarPd = Pd' / (radius - norm(Pd)); % to harmonic domain,

```

```

    destination
17 for i = 1:M
18     HarPi(i,:) = [Pi(1,i),Pi(2,i)]/( radius - norm([Pi(1,i),Pi(2,i)]) ) ;
19 %to harmonic domain, obstacles
20 end
21
22 %harmonic potential - sources and sinks -----
23 Var2 = Kd*log( norm(Var1 - HarPd) );
24 for i = 1:M
25     Var2 = Var2 - Ki*log( norm( Var1 - HarPi(i,:)) ) ;
26 end
27 %
28 Var3 = exp(Var2)./(exp(Var2)+1) ; %to [0 1];
29 Var4 = Var3.^2/Kd; % for non-degenerate destination
30
31 %% gradient calculation
32 der4 = 2/Kd * ( Var3).^((2-Kd)/(Kd));
33
34 der3 = exp(Var2)./(1+exp(Var2) ).^2;
35
36 %harmonic potential - sources and sinks -----
37 der2 = Kd*(Var1 - HarPd)/norm(Var1 - HarPd)^2;
38 for i = 1:M
39     der2 = der2 - Ki*(Var1 - HarPi(i,:))/norm(Var1 - HarPi(i,:))^2;
40 end
41 %
42 der1 = [ radius - y^2/sqrt(x^2+y^2) , radius - x^2/sqrt(x^2+y^2) ]/ (radius -
    sqrt(x^2+y^2) )^2 ;
43
44 %% output
45 GRADIENT = der4*der3*der2.*der1 ;
46 end

```

reach_target.m:

```

1 function [ value , isterminal , direction ] = reach_target(t,y,Pd)
2
3 if norm(Pd-y) < 1e-6 %accuracy
4     value = 0;
5 else
6     value =1;
7 end
8 isterminal = 1; %terminate if true
9 direction= 0;
10 end

```

7.2 Δυναμική Προσομοίωση

7.2.1 gravitySimulation.m

Η συνάρτηση αυτή δέχεται τα όρια κατά x , y που θα έχει στο γράφημα για να αναπαραστήσει το έδαφος. Επιπλέον, λαμβάνει σαν είσοδο την αρχική κατάσταση του συστήματος (θέση και ταχύτητα κατά x, y) και τον χρόνο προσομοίωσης. Έστερα, πλοτάρεται το έδαφος και γίνεται η δυναμική προσομοίωση καλώντας την συνάρτηση *gravity2D.m*. Τέλος, παρουσιάζεται ένα animation της τροχιάς που ακολουθεί το σύστημα πάνω στο έδαφος.

7.2.2 gravity2D.m

Η συνάρτηση αυτή δέχεται τη θέση του συστήματος και βγάζει την δύναμη σύμφωνα με τη σχέση 59.

7.2.3 Κώδικες

gravitySimulation.m:

```
1 %This programm plots the ground surface and then, given the initial
2 %conditions specified in the following section, simulates the trajectory of
3 %the system
4
5 %it is assumed there is no friction
6
7 %% Input: initial Conditions
8 PosXY = [-0.825,0.05];
9 Velocity = [0,0];
10 simTime = 5; %seconds
11
12 %plot limits
13 xlims = [-1.1,2];
14 ylims = [-0.6,0.8];
15
16 %% Terrain Plot
17 meshx = xlims(1):0.025:xlims(2);
18 meshy = ylims(1):0.025:ylims(2);
19 sizeofvarx = length(meshx);
20 sizeofvary = length(meshy);
21
22 [X,Y] = meshgrid(meshx,meshy);
23
24 lamda = 10; %scaling factor
25 H = @( X,Y ) 0.5*sin(0.5*lamda*X)+0.3*sin(1.3*lamda*Y)+0.4*sin(0.7*lamda*(X+
26 Y))+0.2*sin(0.8*lamda*X+0.9*lamda*Y) ;
27 figure(WindowState="maximized")
28 s1 = surf(X,Y,H(X,Y), 'DisplayName', '$Terrain$');
29 hold on
30
31 %% Simulation
32 [t,y] = ode45(@(t,y) gravity2D(y),[0,simTime],[PosXY(1);Velocity(1);PosXY(2)
33 ;Velocity(2)]);
34 XX = y(:,1);
35 YY = y(:,3);
36 instances = length(t);
37 Height = H(XX,YY); %trajectory height
38 %% plot
```

```

40 sc1 = scatter3(XX(1),YY(1),Height(1)+1e-2,'b','SizeData',200,'Marker','*',""
41 LineWidth",3);
42 hold on
43 sc2 = scatter3(XX(end),YY(end),Height(end)+1e-2,'r','SizeData',200,'Marker'
44 ,","*",LineWidth",3);
45 hold on
46 %for animation
47 view([-169.8875,71.9777])
48 %pause(10) %for video
49 for iT = 1:instances-1
50 p2 = plot3(XX(1:iT),YY(1:iT),Height(1:iT),'LineWidth',2,'Color','k');
51 pause(t(iT+1)-t(iT))
52 end
53 title('$Path \ of \ system$', 'Interpreter', 'latex', 'FontSize', 20)
54 xlabel('$X$', 'Interpreter', 'latex', 'FontSize', 20)
55 ylabel('$Y$', 'Interpreter', 'latex', 'FontSize', 20)
56 zlabel('$Height$', 'Interpreter', 'latex', 'FontSize', 20)
57 pause(1)
58 view(33.5,74)
59 legend('$Terrain$', '$Starting \ Point$', '$Destination$', '$Trajectory$',
60 Interpreter='latex', FontSize=20)

```

gravity2D.m:

```

1 function [yt] = gravity2D(y)
2 g = 9.81;
3
4 lamda = 10;%scaling factor
5 %IT MUST BE EQUAL TO THE HEIGHT FUNCTION
6
7 X = 10*y(1);Y = 10*y(3);
8 %X = y(1);Y = y(3);
9
10 %% Grads calcs
11
12 %% H = @(X,Y) 0.5*sin(0.5*X)+0.3*sin(1.3*Y)+0.4*sin(0.7*(X+Y))+0.2*sin(0.8*
13 X+0.9*Y) ;
14 DHDX = 0.25*cos(0.5*X) + 0.4*0.7*cos(0.7*(X+Y)) + 0.2*0.8*cos
15 (0.8*X+0.9*Y) ;
16 DHDXX=-0.25*0.5*sin(0.5*X) -0.4*0.7*0.7*sin(0.7*(X+Y)) - 0.2*0.8*0.8*sin
17 (0.8*X+0.9*Y) ;
18 DHDY = 0.3*1.3*cos(1.3*Y) + 0.4*0.7*cos(0.7*(X+Y)) + 0.2*0.9*cos
19 (0.8*X+0.9*Y) ;
20 DHDYY=-0.3*1.3*1.3*sin(1.3*Y) -0.4*0.7*0.7*sin(0.7*(X+Y)) - 0.2*0.9*0.9*sin
21 (0.8*X+0.9*Y) ;
22 DHDXY= -0.4*0.7*0.7*sin(0.7*(X+Y)) - 0.2*0.9*0.8*sin(0.8*X+0.9*Y) ;
23 %% output
24 gradH = [DHDX;DHDY];
25 Hess = lamda*[DHDXX, DHDXY; DHDXY DHDYY];

```

```
24 force = -1/( 1 + norm(gradH)^2 )*(g + ([y(2),y(4)]* Hess * [y(2);y(4)]) )
      *gradH ;
25
26 yt(1,1) = y(2);
27 yt(2,1) = force(1);
28 yt(3,1) = y(4);
29 yt(4,1) = force(2);

---


```

7.3 Ελεγκτής

7.3.1 ControllerCostCalc.m

Το πρόγραμμα αυτό στήνει το αρμονικό πεδίο στον χώρο και υπολογίζει την επιφάνεια κόστους με διάφορα βάρη στη συνάρτηση 60. Ο χρήστης δύνει το επιθυμητό προορισμό στο χώρο εργασίας και τις αρχικές συνθήκες του ρομπότ. Επίσης, έχει την επιλογή να πλοτάρει την επιφάνεια του εδάφους πάνω στο workspace αν θέλει, θέτοντας το flag: *TerrainPlot* ίσο με ένα. Η διαδικασία που ακολουθείται χοντρικά είναι η εξής:

- Αρχικά δημιουργείται το αρμονικό πεδίο από τους αντίστοιχους κώδικες
- Υπολογίζεται διάφορα γραφήματα του πεδίου. Ο χρήστης πρέπει να βεβαιωθεί πως οι παράμετροι που έχει θέσει στο αρχείο *input_panel.txt* δίνουν ένα ικανοποιητικό πεδίο, όπου τα διανύσματα δεν δείχνουν στο εξωτερικό του.
- Στη συνέχεια, καλείται η συνάρτηση *DOE.m* και διαλέγονται τα αρχικά σημεία.
- Επειτα γίνεται η προσομοίωση για κάθε σημείο και υπολογίζεται το κόστος του.
- Μετά, γίνεται η δισδιάστατη παρεμβολή των σημείων στα οποία υπολογίστηκε το κόστος με ένα πολύ πυκνό πλέγμα (που προέρχεται από την εντολή *meshgrid*).
- Τέλος, γίνονται τα διαγράμματα κόστους.

7.3.2 potentialFIELD.m

Αυτός ο κώδικας χρειάζεται για να διαβάζει τα διανύσματα του αρμονικού πεδίου και να επιστρέψει και τρισδιάστατα διανύσματα. Επιλέχθηκε να μην χρησιμοποιηθεί η δεύτερη δυνατότητα, διότι τα γραφήματα δεν ήταν όμορφα.

7.3.3 reach_targetFULL.m

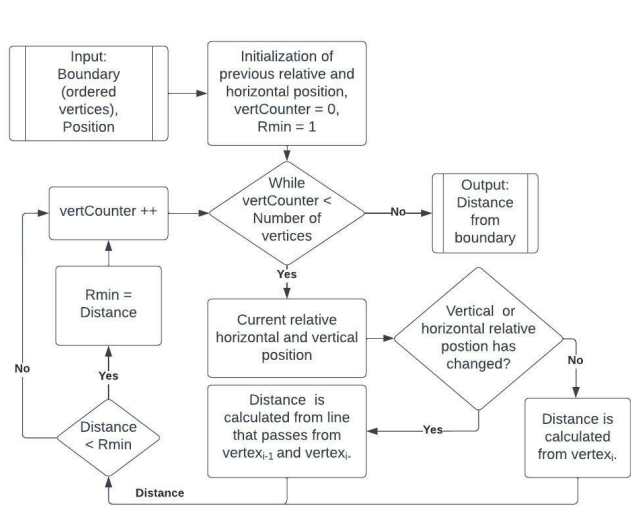
Αντίστοιχος κώδικα με την περίπτωση των navigation functions. Ωστόσο, εδώ η κατάσταση του συστήματος έχει 4 διαστάσεις, αφού το σύστημα είναι διπλός ολοκληρωτής.

7.3.4 controller.m

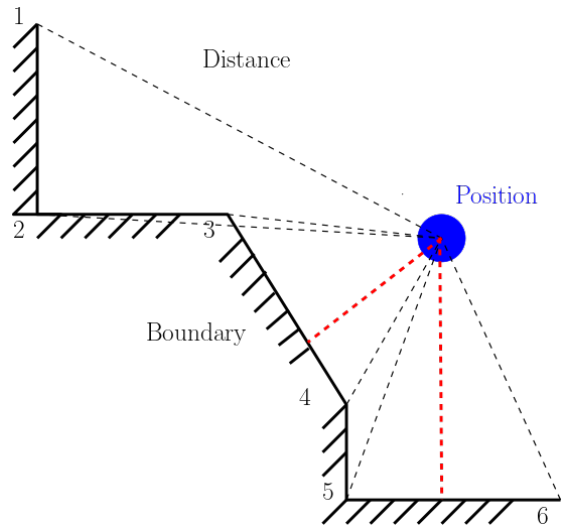
Το πρόγραμμα αυτό υλοποιεί τον προτεινόμενο ελεγκτή από την εξίσωση 60. Δέχεται σαν όρισμα την θέση του ρομπότ, και το αντικείμενο *robot*, από το οποίο καλείται η μέθοδος *input_next()* με σκοπό να ληφθεί η επιθυμητή ταχύτητα από το πεδίο ταχυτήτων. Επιπλέον, λαμβάνονται πληροφορίες για τα όρια του χωρίου. Υπολογίζεται την συνάρτηση *distance.m* και βρίσκεται την απόσταση του ρομπότ από τα όρια του χωρίου, ώστε να υπολογισθεί η τιμή του *bump* function. Στη συνέχεια καλείται η συνάρτηση *gravity2D.m* ώστε να παριστάνεται πληροφορίες για τις εξωτερικές δυνάμεις, οι οποίες πρέπει να αντισταθμιστούν. Τέλος, υπολογίζεται η δύναμη επενέργησης, η οποία αποτελεί την έξοδο του προγράμματος.

7.3.5 distance.m

Η συνάρτηση αυτή υπολογίζει την απόσταση του συστήματος από τα όρια του χωρίου. Η συνάρτηση αυτή εκμεταλλεύεται το γεγονός πως οι κορυφές του χωρίου είναι ήδη σε σειρά. Οπότε ξεκινώντας από την πρώτη κορυφή που είναι στο όριο του χώρου, υπολογίζει την διανυσματική απόσταση από την δοσμένη θέση με την σειρά. Ωστόσο, όπως φαίνεται και στο σχήμα 21, όταν η σχετική οριζόντια ή κάθιστη θέση της κορυφής υπό εξέταση, ως προς την θέση του συστήματος, αλλάζει, τότε η απόσταση από τα όρια βρίσκεται από το ευθύγραμμο τμήμα που ενώνει την προηγούμενη και επόμενη κορυφή. Η παραπάνω διαδικάσια παρουσιάζεται και στο λογικό διάγραμμα στο σχήμα 20.



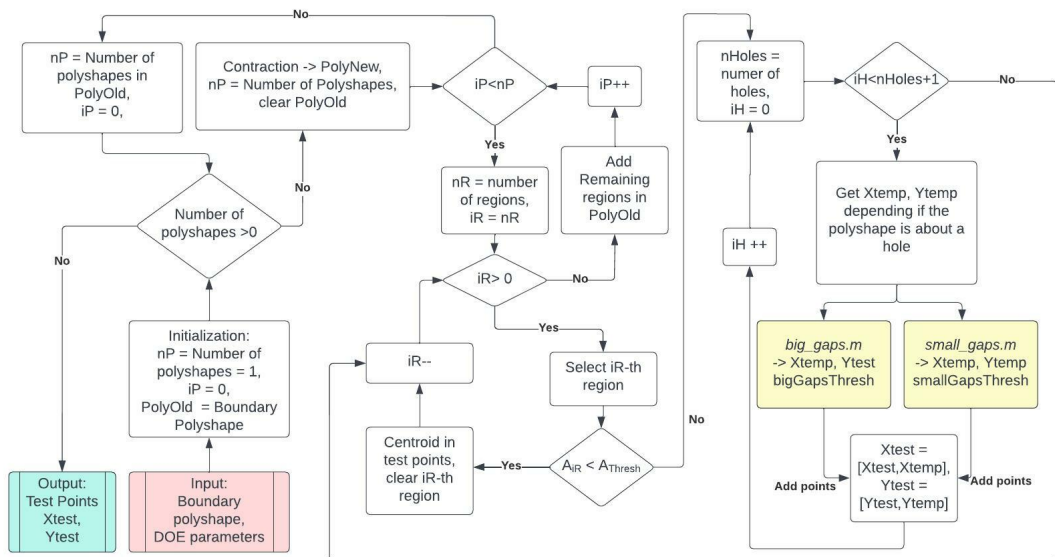
Σχήμα 20: Λογικό διάγραμμα συνάρτησης *distance.m*.



Σχήμα 21: Παράδειγμα υπολογισμού απόστασης από όρια χωρίου.

7.3.6 DOE.m

Η συνάρτηση αυτή βρίσκει αρχικά σημεία για τον υπολογισμό των τροχιών του συστήματος με τελικό σκοπό τον υπολογισμό κόστους. Η διαδικασία χοντρικά περιγράφεται στην ενότητα 5.3.1. Εδώ, παρουσιάζεται ένα αναλυτικό flowchart στο σχήμα 22.



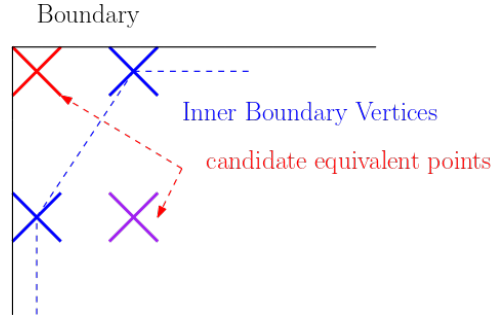
Σχήμα 22: Λογικό διάγραμμα του προγράμματος *DOE.m*

7.3.7 small.gaps.m

Αυτός το πρόγραμμα καλείται στην συνάρτηση *DOE.m* για να εκφυλίσει κοντινές κορυφές σε μια ισοδύναμη. Διαβάζει δύο διανύσματα με τις θέσεις των κορυφών των εσωτερικών πολυγώνων κατά τον άξονα *x* και *y* αντίστοιχα, τα οποία είναι διατεταγμένα σε σειρά, και ένα περιθώριο *thresh*, το οποίο καθορίζει την ελάχιστη απόσταση των κοντινών κορυφών.

Τστερα, γίνονται τα εξής βήματα:

- Δημιουργεί 2 διανύσματα $Xtest$, $Ytest$ στα οποία σε πρώτη φάση αποθηκεύονται όλα τα σημεία υπό εξέταση.
- Βρίσκει την απόσταση κάθε σημείου από το επόμενο σημείο και ελέγχει αν είναι μικρότερη από το επιλυμητό περιθώριο.
- Δημιουργείται ένας πίνακας με δείκτες σε όσα σημεία είναι κοντά με το επόμενο.
- Κάθε σημείο που η απόστασή του από το επόμενο είναι μικρότερη του περιθώριου, αντικαθίσταται με ένα ισοδύναμο σημείο. Αν τα δύο σημεία έχουν συντεταγμένες $x_a = (x_a, y_a)$ και $x_b = (x_b, y_b)$, τότε το ισοδύναμο σημείο έχει συντεταγμένες $x_{equiv} = (x_a, y_b)$ ή $x_{equiv} = (x_b, y_a)$. Επιλέγεται έτσι ώστε να είναι μέσα στον χώρο εργασίας. Τα ισοδύναμα σημεία φαίνονται στο σχήμα 23. Το επόμενο σημείο παραμένει στην λίστα.
- Όλα τα στοιχεία στα διανύσματα $Xtest$, $Ytest$ μετατοπίζονται μια θέση αριστερά.
- Διώχνονται από τα διανύσματα $Xtest$, $Ytest$ τα δεύτερα σημεία, με βάση τους δείκτες, που προηγουμένως έδειχναν στα αρχικά



Σχήμα 23: Τρόπος εκφυλισμού σημείων από την συνάρτηση `small_gaps.m`

7.3.8 big_gaps.m

Αυτό το πρόγραμμα καλείται στην συνάρτηση `DOE.m` για να εμπλουτίσει με σημεία κορυφές σε μεγάλη απόσταση. Διαβάζει δύο διανύσματα με τις θέσεις των κορυφών των εσωτερικών πολυγώνων κατά τον άξονα x και y αντίστοιχα, τα οποία είναι διατεταγμένα σε σειρά, και ένα περιθώριο $thresh$, το οποίο καθορίζει την μέγιστη απόσταση των μακρινών κορυφών. Τστερα, γίνονται τα εξής βήματα:

- Βρίσκεται η διανυσματική απόσταση μακρινών σημείων $d = (dx, dy)$.
- Βρίσκεται ο αριθμός των ευθύγραμμων κομματιών με τον οποίο θα διαιρεθεί η μακρινή απόσταση από τη σχέση:
$$SM = \lceil \frac{\|d\|}{thresh} \rceil$$
- Βρίσκονται τα έξτρα σημεία που πρέπει να προστεθούν στα σημεία εκκίνησης.

7.3.9 Κώδικες

ControllerCostCalc.m:

```

1 %This code creates many starting points to calculate the controller cost
2 %from different starting points in order to create the cost surface.
3
4 close all;
5 clear all;
6 clc;
7
8 %% input
9 %Destination:
10 pd = [ 0.4;0.25];
11 %Initial Velocity
12 iVel = [0.5 ,0.5];
13
14 %For plot
15 uxTxt = [ '$U_x$' ,num2str(iVel(1)) , 'm/s$' ];
16 uyTxt = [ '$U_y$' ,num2str(iVel(2)) , 'm/s$' ];
17
18 %plot terrain with projecte vector field flag
19 TerrainPlot = 0;
20
21 %% Height Function
22 lamda = 10;
23 radius =1;
24 H = @( X,Y ) 0.5* sin (0.5*lamda*X)+0.3* sin (1.3*lamda*Y)+0.4* sin (0.7*lamda*(X+
    Y))+0.2* sin (0.8*lamda*X+0.9*lamda*Y) ;
25
26 %% AHPF CREATE WORKSPACE
27 % SET PLOT HANDLE
28 plot_1 = 1;
29 % CALL THE CONSTRUCTOR FOR THE WORKSPACE CLASS
30 workspace_1 = workspace_panels('./input_panels.txt');
31 % PLOT WORKSPACE
32 workspace_1.plot_ws(plot_1);
33 workspace_1.plot_sources(plot_1);
34 %% AHPF SETUP POLICY
35 % PLOT DESIRED POSITION
36 plot(pd(1),pd(2) , 'r*' , 'MarkerSize' ,10 , 'LineWidth' ,1.5);
37 % INITIALIZE FIELD
38 robot = robot_harmonic(pd,workspace_1);
39 % CALCULATE INITIAL POLICY
40 robot.initial_policy;
41
42 %% Vector Field
43 Xx = 0:0.005:1;
44 Yy = 0:0.005:1;
45 [X,Y] = meshgrid(Xx,Yy);
46
47 % Artificial Potential Field -> get data from AHPFcode for plots
48 boundary = robot.workspace.workspace_polyshape;
49 [X2,Y2,dx_x,dx_y,dz_x,dz_y,dz_z] = potentialFIELD(robot) ;
50 data_size = size(X2,2);
51 height2 = zeros(1,data_size);
52 for ii = 1:data_size
53     height2(ii) = H(X2(ii),Y2(ii));

```

```

54 end
55
56 %Terrain Surface
57 Height = zeros(size(X,1));
58 HeightFalse = zeros(size(X,1));
59 %maxnorm = 0;
60 for row = 1:size(X,1)
61     for cols = 1: size(X,2)
62         if isinterior(boundary,X(row,cols),Y(row,cols))
63             Height(row,cols) = H(X(row,cols),Y(row,cols));
64             HeightFalse(row,cols) = nan ;
65         else
66             Height(row,cols) = nan;
67             HeightFalse(row,cols) = H(X(row,cols),Y(row,cols));%for nicer
68             plot
69         end
70     end
71
72 %% plots
73 % 2D (projected) Vector Field
74 figure(31)
75 quiver(X2,Y2,dz_x ,dz_y )
76 hold on
77 scatter(pd(1),pd(2),150,'r','Marker','*', 'LineWidth',1)
78 hold on
79 boundaryPlot = boundary.plot;
80 boundaryPlot.LineWidth = 2;
81 hold on
82 title('$Vector \ Field \ in \ Workspace$', 'Interpreter', 'latex', 'FontSize',
83 ,20)
83 xlabel('$X$', 'Interpreter', 'latex', 'FontSize', 20)
84 ylabel('$Y$', 'Interpreter', 'latex', 'FontSize', 20)
85
86 if TerrainPlot == 1
87     figure(41)
88     offset = 4; %[m]
89     %vector field with height
90     quiver(X2,Y2,dz_x ,dz_y ,1)
91     hold on
92     scatter(pd(1),pd(2),150,'r','Marker','*', 'LineWidth',1)
93     hold on
94     scatter3(pd(1),pd(2),H(pd(1),pd(2))+offset,200,'red','Marker','*',
95     'LineWidth',2)
96     hold on
97     boundary.plot(LineWidth=2,FaceColor="none")
98     hold on
99     surf(X,Y,Height+offset, EdgeColor="none")
100    hold on
101    surf(X,Y,HeightFalse+offset, EdgeColor="none",FaceColor="black")
102    view( 42.35,35.2074)
103    hold on
104    title('$Workspace \ with \ Terrain$', 'Interpreter', 'latex', 'FontSize',
105 ,20)
106    xlabel('$X$', 'Interpreter', 'latex', 'FontSize', 20)
107    ylabel('$Y$', 'Interpreter', 'latex', 'FontSize', 20)
108    zlabel('$Z$', 'Interpreter', 'latex', 'FontSize', 20)

```

```

107
108 end
109 %% Cost Calculation
110
111 %design of experiments
112 [PSX,PSY] = DOE(boundary ,0.01 ,0.01 ,0.05 ,0.015 ,0.05) ;
113 NP = length(PSX) ;
114
115 %function to calculate input force
116 inputF = @(t,y)( controller(y,robot) ) ;
117
118 %mallocks
119 TOTAL_COSTa = zeros(1 ,NP) ;
120 TOTAL_COSTb = zeros(1 ,NP) ;
121 TOTAL_COSTc = zeros(1 ,NP) ;
122 TOTAL_COSTd = zeros(1 ,NP) ;
123 TOTAL_COSTe = zeros(1 ,NP) ;
124 tic
125
126 for ix = 1:NP
    %feedback of the calculation progress
    disp("iteation")
    disp(ix)
    disp("from")
    disp(NP)
    disp("~~~~~")
127
128
129
130
131
132
133
134 ps = [PSX(ix);PSY(ix)];
135
136 %save the costs
137 if ~isinterior(boundary ,ps(1) ,ps(2))
    %extra check
    TOTAL_COSTa(ix) = nan;
    TOTAL_COSTb(ix) = nan;
    TOTAL_COSTc(ix) = nan;
    TOTAL_COSTd(ix) = nan;
    TOTAL_COSTe(ix) = nan;
138
139
140
141
142
143
144 else
145 % simulation
146
147 final_fun = @(t,y) reach_targetFULL(t,y,pd);
148 options = odeset('Events',final_fun,'RelTol',1e-8,'AbsTol',1e-10 );
149 initial_cond = [ps(1); iVel(1); ps(2);iVel(2)];
150 tspan = 10; %[s]
151
152 %no gravity experiments
153 % [t,y] = ode15s( @(t,y)( controller(y,robot) ) ,[0 tspan] ,
154 %                 initial_cond ,options);
155
156 %gravity
157 [t,y] = ode15s( @(t,y)( controller(y,robot) + gravity2D(y)) ,[0
158 tspan],initial_cond ,options);
159
160 %% Cost
161 DC = 1; %distance coefficient
162 VC = 1; %velocity coefficient
163 IC = 1; %actuation coefficient

```

```

162
163 %cost_vectors
164 distDiff = sqrt( (y(:,1)-pd(1)).^2 + (y(:,3)-pd(2)).^2 );
165 vel = sqrt( y(:,2).^2 + y(:,4).^2 );
166
167 %reinitialize input
168 input = zeros(length(t),1);
169 for i=1:length(t)
170     temp = inputF(t,y(i,:));
171     input(i,1) = sqrt( temp(2)^2+temp(4)^2 );
172 end
173
174 %costs
175 Cost_dist = trapz(t, distDiff);
176 Cost_vel = trapz(t, vel);
177 Cost_input = trapz(t, input);
178
179 %Calculate different combinations
180 TOTAL_COSTa(ix) = DC*Cost_dist + VC*Cost_vel + IC*Cost_input;
181 TOTAL_COSTb(ix) = 10*DC*Cost_dist + VC*Cost_vel + IC*Cost_input;
182 TOTAL_COSTc(ix) = DC*Cost_dist + VC*Cost_vel + 10*IC*Cost_input;
183 TOTAL_COSTe(ix) = IC*Cost_input; %unweighted actuation cost
184 TOTAL_COSTd(ix) = DC*Cost_dist + 10*VC*Cost_vel + IC*Cost_input;
185
186 %plot
187 figure(31)
188 scatter(ps(1),ps(2),75,'b','Marker','*', 'LineWidth',1)
189 hold on
190 plot(y(:,1),y(:,3),'k','LineWidth',2)
191 hold on
192 end
193 end
194 toc
195
196
197 %% Interpolation procedures
198 Discretization = 250;
199 %interpolation points
200 Px = linspace( min(boundary.Vertices(:,1)'), max(boundary.Vertices(:,1)'), ...
201 ,Discretization);
201 Py = linspace( min(boundary.Vertices(:,2)'), max(boundary.Vertices(:,2)'), ...
202 ,Discretization);
202 [PPx,PPy] = meshgrid(Px,Py);
203
204 %interpolation
205 TCa = griddata(PSX,PSY,TOTAL_COSTa,PPx,PPy,'v4');
206 TCb = griddata(PSX,PSY,TOTAL_COSTb,PPx,PPy,'v4');
207 TCc = griddata(PSX,PSY,TOTAL_COSTc,PPx,PPy,'v4');
208 TCd = griddata(PSX,PSY,TOTAL_COSTd,PPx,PPy,'v4');
209 TCe = griddata(PSX,PSY,TOTAL_COSTe,PPx,PPy,'v4');
210
211 %nan in points out of bounds
212 for row = 1:size(PPx,1)
213     for cols = 1: size(PPy,2)
214         if ~isinterior(boundary,PPx(row,cols),PPy(row,cols))
215             TCa(row,cols) = nan;
216             TCb(row,cols) = nan;

```

```

217     TCc(row, cols) = nan;
218     TCd(row, cols) = nan;
219     TCe(row, cols) = nan;
220     end
221   end
222 end
223
224
225 %% Cost plot
226
227 fig1 = figure(101);
228 %got it from matlab
229 annotation(fig1, 'textbox', ...
230 [0.424437499999995 0.455579438744204 (0.17322252194195)
231 (0.086537191925333) ], ...
232 'String', {'$Initial \ Conditions:$', uxTxt, uyTxt}, ...
233 'Interpreter', 'latex', ...
234 'HorizontalAlignment', 'center', ...
235 'FontSize', 18, 'FitBoxToText', 'on');
236
237 subplot(2,2,1)
238 boundaryPlot = boundary.plot;
239 boundaryPlot.LineWidth = 2;
240 hold on
241 surf(PPx,PPy,TCa, 'FaceColor', 'interp', 'EdgeColor', 'none')
242 title(['$ Cost$', newline, '$a=1,\ b=1,\ c=1 $'], FontSize=20, Interpreter='
243 latex')
244 xlabel('$X$', 'Interpreter', 'latex', 'FontSize', 20)
245 ylabel('$Y$', 'Interpreter', 'latex', 'FontSize', 20)
246 colorbar
247 view(2)
248 axis equal
249 xlim([-0.1 1.1])
250 ylim([-0.1 1.1])
251
252 subplot(2,2,2)
253 boundaryPlot = boundary.plot;
254 boundaryPlot.LineWidth = 2;
255 hold on
256 surf(PPx,PPy,TCb, 'FaceColor', 'interp', 'EdgeColor', 'none')
257 title(['$ Cost$', newline, '$a=10,\ b=1,\ c=1 $'], FontSize=20, Interpreter='
258 latex')
259 xlabel('$X$', 'Interpreter', 'latex', 'FontSize', 20)
260 ylabel('$Y$', 'Interpreter', 'latex', 'FontSize', 20)
261 colorbar
262 view(2)
263 axis equal
264 xlim([-0.1 1.1])
265 ylim([-0.1 1.1])
266
267 subplot(2,2,3)
268 boundaryPlot = boundary.plot;
269 boundaryPlot.LineWidth = 2;
270 hold on
271 surf(PPx,PPy,TCc, 'FaceColor', 'interp', 'EdgeColor', 'none')

```

```

271 title(['$ Cost$', newline, '$a=1,\ b=1,\ c=10 $'],FontSize=20,Interpreter='
    latex')
272 xlabel('$X$',Interpreter='latex',FontSize',20)
273 ylabel('$Y$',Interpreter='latex',FontSize',20)
274 colorbar
275 view(2)
276 axis equal
277 xlim([-0.1 1.1])
278 ylim([-0.1 1.1])
279
280
281
282 subplot(2,2,4)
283 boundaryPlot = boundary.plot;
284 boundaryPlot.LineWidth = 2;
285 hold on
286 surf(PPx,PPy,TCd,'FaceColor','interp','EdgeColor','none')
287 title(['$ Cost$',newline,$a=1,\ b=10,\ c=1 $'],FontSize=20,Interpreter='
    latex')
288 xlabel('$X$',Interpreter='latex',FontSize',20)
289 ylabel('$Y$',Interpreter='latex',FontSize',20)
290 colorbar
291 view(2)
292 axis equal
293 xlim([-0.1 1.1])
294 ylim([-0.1 1.1])
295
296 %% Contour plot
297 fig2 = figure(202);
298 annotation(fig2,'textbox',...
299 [0.424437499999995 0.455579438744204 0.17322252194195 0.086537191925333],...
300 'String',{ ['$Initial \ Conditions:$',uxTxt,uyTxt},...
301 'Interpreter','latex',...
302 'HorizontalAlignment','center',...
303 'FontSize',18, 'FitBoxToText','on'});
304
305 subplot(2,2,1)
306 boundaryPlot = boundary.plot;
307 boundaryPlot.LineWidth = 2;
308 hold on
309 contour(PPx,PPy,TCa,50)
310 title(['$ Cost$',newline,$a=1,\ b=1,\ c=1 $'],FontSize=20,Interpreter='
    latex')
311 xlabel('$X$',Interpreter='latex',FontSize',20)
312 ylabel('$Y$',Interpreter='latex',FontSize',20)
313 colorbar
314 view(2)
315 axis equal
316 xlim([-0.1 1.1])
317 ylim([-0.1 1.1])
318
319
320 subplot(2,2,2)
321 boundaryPlot = boundary.plot;
322 boundaryPlot.LineWidth = 2;
323 hold on
324 contour(PPx,PPy,TCb,50)

```

```

325 title(['$ Cost$', newline, '$a=10,\ b=1,\ c=1 $'],FontSize=20,Interpreter='
326 latex')
327 xlabel('$X$',Interpreter,'latex',FontSize',20)
328 ylabel('$Y$',Interpreter,'latex',FontSize',20)
329 colorbar
330 view(2)
331 axis equal
332 xlim([-0.1 1.1])
333 ylim([-0.1 1.1])
334
335 subplot(2,2,3)
336 boundaryPlot = boundary.plot;
337 boundaryPlot.LineWidth = 2;
338 hold on
339 contour(PPx,PPy,TCc,50)
340 title(['$ Cost$', newline, '$a=1,\ b=1,\ c=10 $'],FontSize=20,Interpreter='
341 latex')
342 xlabel('$X$',Interpreter,'latex',FontSize',20)
343 ylabel('$Y$',Interpreter,'latex',FontSize',20)
344 colorbar
345 view(2)
346 axis equal
347 xlim([-0.1 1.1])
348 ylim([-0.1 1.1])
349
350
351 subplot(2,2,4)
352 boundaryPlot = boundary.plot;
353 boundaryPlot.LineWidth = 2;
354 hold on
355 contour(PPx,PPy,TCd,50)
356 title(['$ Cost$', newline, '$a=1,\ b=10,\ c=1 $'],FontSize=20,Interpreter='
357 latex')
358 xlabel('$X$',Interpreter,'latex',FontSize',20)
359 ylabel('$Y$',Interpreter,'latex',FontSize',20)
360 colorbar
361 view(2)
362 axis equal
363 xlim([-0.1 1.1])
364 ylim([-0.1 1.1])

```

controller.m:

```

1 function [yt] = controller(input,robot)
2 %This function is the designed controllers
3
4 %Gains
5 k = 75;
6 kphi = 100;
7 Rd = 0.15; %Activation distance of bump function
8
9 x = input(1);x_t = input(2);
10 y = input(3);y_t = input(4);

```

```

11
12 %% Get Harmonic field
13 gradphi = -input_next(robot,[x;y]); %gradient
14
15 %bump function
16 r = distance(robot.workspace.boundary{1},[x;y]); %to avoid holes
17
18 if r<Rd
19     sr = 1-exp(-(r./(r-Rd)).^2);
20 else
21     sr=1;
22 end
23
24 %% Get Inertial and gravitational forces
25 fcomp = -gravity2D(input);
26
27 %% Calculate Force
28 %with gravity
29 fin = -kphi/(sr+1e-6)*gradphi - k* ([x_t;y_t]-(-kphi*gradphi)) + fcomp
30     ([2,4]);
31 yt = [0; fin(1); 0; fin(2)];
32
33 %no gravity tests
34 %fin = -kphi/(sr+1e-6)*gradphi - k* ([x_t;y_t]-(-kphi*gradphi));
35 %yt = [x_t; fin(1); y_t; fin(2)];

```

distance.m:

```

1 function R = distance(boundary,P)
2 %this function calculates the distance from the boundary of the workspace
3
4 %initialization
5 R = 1;
6 %flags
7 RLp = 0; %right-left flag -1=left,1=right
8 UDP = 0; %up-down flag -1=down,1=up
9
10 for i = 1:size(boundary,2)
11 %    x=boundary(1,i);
12 %    y=boundary(2,i);
13
14 %check relative position
15 if P(1)<boundary(1,i)
16     RL = -1;
17 else
18     RL = 1;
19 end
20 %
21 if P(2)<boundary(2,i)
22     UD = -1;
23 else
24     UD = 1;
25 end
26 %choose right metric
27 if UD*UDP == -1 || RL*RLp == -1

```

```

28      if boundary(1,i)-Xp == 0
29          r = abs( P(1)-Xp);
30      elseif (boundary(2,i)-Yp)==0
31          r = abs( P(2)-Yp) ;
32      else
33          %exclude l=inf ,0
34          lamda = (boundary(2,i)-Yp)/(boundary(1,i)-Xp);
35          x_common = (P(1)/lamda + P(2) + lamda*Xp -Yp )*lamda/(lamda^2+1)
36          ;
37          y_common = lamda(x_common-Xp)+Yp;
38          r = norm([x_common;y_common]-P);
39      end
40      else
41          r = norm(P-boundary(:,i) );
42      end
43      UDp = UD; RLp =RL;
44      %
45      %keep current nearest point
46      if r <R
47          R=r;
48      end
49      %save the position of edge. (at i=0, we wont need, so no need for
50      %initialization outside of loop
51      Xp = boundary(1,i);
52      Yp = boundary(2,i);
53
54 end

```

DOE.m:

```

1 function [Xtest,Ytest] = DOE(polyB,Athresh,in1,in2,smallGapsRad,bigEdgeDist)
2 % This function takes as input the polyshape object of the boundary, an
3 % area threshold to stop the contraction of the workspace, in1, in2 which
4 % are the offset distances (the first one is for finer contraction, and the
5 % second is for coarser contraction), and thresholds for the functions
6 % small_gaps.m and big_gaps.m
7
8 %% for debugging purposes
9 % Athresh = 0.05;
10 % in1 = 0.01;
11 % in2 = 0.1;
12 % polyG = boundary;
13
14 %% initialization
15 Xtest = [];
16 Ytest = [];
17 PolyOld = polyB; %the old collective polyshape
18 counter = 1;
19
20 %% start plots -----
21 figure(404)
22 polyB.plot(FaceAlpha=1)
23 hold on
24 leg_text = { }; %legend_text

```

```

25 leg_text(1) = { 'Workspace' };
26 %
27
28 %% contractions until there is no area left
29 while (size(PolyOld,2) ~= 0)
30
31 %the new collective polyshape
32 if counter < 4
33     polyNew = polybuffer(PolyOld,-in1,'JointType','square');
34 else
35     polyNew = polybuffer(PolyOld,-in2,'JointType','square');
36 end
37 PolyOld = [];
38 nP      = size(polyNew,1);
39
40 %for plot
41 polyNew.plot(FaceAlpha=1)
42 hold on
43 leg_text(counter+1) = {[ '$Contraction \ n.', num2str(counter), '$' ]};
44 %

45 %points of interest
46 for iP = 1:nP %for each polyshape
47     % maybe contraction will divide the polygon into two polygons
48
49     %take the regions
50     nR = polyNew(iP).NumRegions;
51     Reg = polyNew(iP).regions;
52
53     %check if small
54     Indeces = Reg.area < Athresh;
55
56     %Select each region in this polyshape (new regions may be
57     %created in the current polybuffer process
58     for iR=nR:-1:1 %from nr to 1, for each region
59
60         %check if it is a small region and add extra points accordingly
61         if Indeces(iR) == 1
62             % small regions -> we get only the centroid as a test point
63             [x,y] = Reg(iR).centroid;
64             Xtest = [Xtest,x];
65             Ytest = [Ytest,y];
66             Reg(iR) = []; %> this polyshape region got as contracted as
67             %possible
68             %we do not need any more points, so we throw it
69         else
70             % Big regions -> we get all the boundary as tests points
71             Xt = Reg(iR).Vertices(:,1);
72             Yt = Reg(iR).Vertices(:,2);
73
74             %treat holes seperately
75             nan_index = isnan(Xt); %common for x,y
76             nan_loc   = find(nan_index); %the locations of nans
77             nHoles    = sum(nan_index); %>the number of holes
78
79             %Get Test Points
80             for iH = 1:nHoles+1 %nHoles + perimeter

```

```

81 %get temp points depending if the vertices are about a
82 %hole:
83
84 if iH == 1 %surely iH will be 1 even with no holes
85   if nHoles == 0
86     %if there are no holes , we do not worry
87     Xtemp = Xt;
88     Ytemp = Yt;
89   else
90     Xtemp = Xt(1:nan_loc(iH)-1);
91     Ytemp = Yt(1:nan_loc(iH)-1);
92   end
93 elseif iH == nHoles+1
94   Xtemp = Xt(nan_loc(iH-1)+1:end);
95   Ytemp = Yt(nan_loc(iH-1)+1:end);
96 else
97   Xtemp = Xt(nan_loc(iH-1)+1:nan_loc(iH)-1);
98   Ytemp = Yt(nan_loc(iH-1)+1:nan_loc(iH)-1);
99 end
100
101 %we clear the close
102 [Xtemp,Ytemp] = small_gaps(Xtemp,Ytemp,smallGapsRad,polyB
103   .Vertices);
104 Xtest = [Xtest,Xtemp'];
105 Ytest = [Ytest,Ytemp'];
106
107 %we also check for big edges
108 [Xtemp,Ytemp] = big_gaps(Xtemp,Ytemp,bigEdgeDist);
109 Xtest = [Xtest,Xtemp'];
110 Ytest = [Ytest,Ytemp'];
111 end
112 end
113
114 PolyOld = [PolyOld;Reg];
115 end
116
117 counter = counter+1;
118 end
119
120
121 %% plot final
122 figure(404)
123
124 scatter(Xtest,Ytest,100,"black",Marker="x",LineWidth=2)
125 hold off
126 title('$ Starting \ Points $',FontSize=20,Interpreter='latex')
127 xlabel('$X$',Interpreter,'latex','FontSize',20)
128 ylabel('$Y$',Interpreter,'latex','FontSize',20)
129 legend(leg_text,Interpreter="latex",FontSize=15)

```

small_gaps.m

```

1 function [Xtest,Ytest] = small_gaps(X,Y,thresh,boundary)
2 %This functions finds the vertices of the shrinked polygons created by

```

```

3 %DOE.m that are very close apart and replaces them with an equivalent point
4
5 n = length(X);
6 Xtest = X;
7 Ytest = Y;
8
9 %move each element to the left
10 Xc = circshift(X,-1);
11 Yc = circshift(Y,-1);
12
13 %calculate distances sequentially
14 dist = sqrt( (X-Xc).^2 + (Y-Yc).^2 );
15 %indeces vertices that are closer than the specified threshold apart
16 ind = dist<thresh;
17
18 %take an equivalent point
19 for i=1:n %check all points
20     if ind(i) %if the have smalled distance from the next point
21         %the equivalent point takes the position of the first of the pair
22         %of close points
23
24         Xtest(i) = X(i);
25         Ytest(i) = Yc(i);
26         if ~inpolygon(Xtest(i),Ytest(i),boundary(1,:),boundary(2,:))
27             Xtest(i) = Xc(i);
28             Ytest(i) = Y(i);
29         end
30
31     end
32 end
33
34 %to avoid having ind=end, we move all the test points to the left. So the
35 %indeces which point to the first point of the pair of close points, now,
36 %AFTER the circshift, point to the second point, which we want to throw out
37 Xtest = circshift(Xtest,-1);
38 Ytest = circshift(Ytest,-1);
39
40 %clear duplicates
41 Xtest(ind) = [];
42 Ytest(ind) = [];

```

big_gaps.m:

```

1 function [Xtest,Ytest] = big_gaps(X,Y,thresh)
2 %This function finds the big edges in the shrinked polygons created in the
3 %DOE.m function, and adds extra points along the edge in order to increase
4 %the sampling of the workspace
5
6 n = length(X);
7
8 Xc = circshift(X,-1);
9 Yc = circshift(Y,-1);
10
11 dist = sqrt( (X-Xc).^2 + (Y-Yc).^2 );
12

```

```

13 Xtest = [];
14 Ytest = [];
15 for i=n:-1:1
16     if dist(i)>thresh
17         %add N=floor(dist/thresh) intermediate points. So there are N+1
18         %spaces
19         SM = ceil(dist(i)/thresh);
20         dx = Xc(i)-X(i);
21         dy = Yc(i)-Y(i);
22
23         %dx-dy for extra points
24         DX = [ dx/(SM):dx/(SM):dx*(SM-1)/(SM) ]'; ;
25         DY = [ dy/(SM):dy/(SM):dy*(SM-1)/(SM) ]'; ;
26
27         if dx == 0
28             DX = 0*DY; %DX had one element until that point, so not the same
29             %dimensions
30         elseif dy ==0
31             DY = 0*DX;
32         end
33
34         Xtest = [ Xtest;( X(i) + DX )]'; ;
35
36
37     end
38 end

```

potentialFIELD.m:

```

1 function [x,y,dx_x,dx_y,dz_x,dz_y,dz_z] = potentialFIELD(obj)
2 %this function reads the vector field from AHPF code
3 %Also, it outputs normalized 3d vectors from plotting the field in 3D. But
4 %they are not used, as the plot wasn't nice.
5
6 NI = 100;
7 [x,y] = meshgrid( min(obj.workspace.boundary{1}(1,:)):...
8     ((max(obj.workspace.boundary{1}(1,:))-...
9     min(obj.workspace.boundary{1}(1,:)))/NI):...
10    max(obj.workspace.boundary{1}(1,:)),...
11    min(obj.workspace.boundary{1}(2,:)):...
12    ((max(obj.workspace.boundary{1}(2,:))-...
13    min(obj.workspace.boundary{1}(2,:)))/NI):...
14    max(obj.workspace.boundary{1}(2,:)));
15
16 % scale = 0.8;
17 % v = ones(size(x));
18 % w = ones(size(x));
19
20
21 x = x(:);
22 y = y(:);
23 %checking for inside the workspace
24 [in] = isinterior(obj.workspace.workspace_polyshape,x,y);
25

```

```

26 x = x(in)';
27 y = y(in)';
28 utmp = obj.input_ini_ext([x;y]);
29 dx = utmp;
30
31 %normalized
32 normdx = sqrt(dx(1,:).^2 + dx(2,:).^2);
33 % normu(normu==0) = 1;
34 dx_x = dx(1,:)/normdx;
35 dx_y = dx(2,:)/normdx;
36
37 %% 3D stuff
38 % normalized in 3d
39 % H = @(X,Y) 0.5*sin(0.5*X)+0.3*sin(1.3*Y)+0.4*sin(0.7*(X+Y))+0.2*sin(0.8*X
    +0.9*Y) ;
40 DHDX = 0.25*cos(0.5*x) + 0.4*0.7*cos(0.7*(x+y)) + 0.2*0.8*cos
    (0.8*x+0.9*y) ;
41 DHDY = 0.3*1.3*cos(1.3*y) + 0.4*0.7*cos(0.7*(x+y)) + 0.2*0.9*cos
    (0.8*x+0.9*y);
42 gradH = [DHDX;DHDY];
43
44 %% 3d quivers
45 vecs = [dx_x;dx_y;sum(gradH.*[dx_x;dx_y])];
46 normmm = sqrt( sum(vecs.^2) ) ;
47 temp = (vecs)./normmm;
48
49 dz_x = temp(1,:);
50 dz_y = temp(2,:);
51 dz_z = temp(3,:);

```

reach_targetFULL.m

```

1 function [value ,isterminal ,direction] = reach_targetFULL(t,y,Pd)
2
3 P = [y(1);y(3)];
4
5 if norm(Pd-P) < 1e-3 && ( norm([y(2);y(4)]) )<1e-3
6     value = 0;
7 else
8     value =1;
9 end
10 isterminal = 1;
11 direction= 0;
12 end

```
